

## بررسی صفات کاریوتایی در برخی گونه‌های کلکسیون آزیلوپس ایران

محمد جعفرآقایی<sup>۱\*</sup>، شاهین واعظی<sup>۱</sup>، محمد علی ابراهیمی<sup>۲</sup> و مقداد توکلی<sup>۳</sup>  
۱، استادیار عضو هیئت علمی بانک ژن گیاهی ملی ایران، ۲، استادیار عضو هیئت علمی دانشگاه پیام نور،  
۳، دانشجوی کارشناسی ارشد دانشگاه پیام نور واحد کرج  
( تاریخ دریافت: ۹۰/۶/۶ - تاریخ تصویب: ۹۲/۶/۶ )

### چکیده

جنس آزیلوپس *Aegilops L.* یکی از خویشاوندان وحشی گندم نان بوده و پراکنش وسیعی در خاور میانه و غرب آسیا دارد که ایران بخش وسیعی از این منطقه را در بر می‌گیرد. گونه‌های این جنس در تکامل گندم هگزاپلوئید نقش به‌سزایی داشته و به‌طور مستقیم و غیرمستقیم بخشنده ژنوم‌های D و B به این گندم می‌باشند. به منظور شناسایی و تعیین سطح پلوئیدی تعدادی از نمونه‌های آزیلوپس بومی ایران، ۱۰۳ نمونه متعلق به ۸ گونه که از نقاط مختلف ایران جمع‌آوری شده بودند، با دو روش فلوسیتومتری و سیتوژنتیکی مورد بررسی قرار گرفتند. سطوح پلوئیدی نمونه‌ها با مقایسه نمودار پیک فلوسیتومتری هر نمونه با پیک مشابه در نمونه‌های شاهد گندم هگزاپلوئید و جو دیپلوئید برآورد گردید و برای تأیید برآوردها دو نمونه از هرگونه مورد بررسی کاریوتایپ میتوزی قرار گرفت. مطالعات کاریوتایی نمونه‌ها، برآورد سطوح پلوئیدی نمونه‌ها با استفاده از روش فلوسیتومتری را تأیید کرد اما این روش برای شناسایی ناهنجاری‌های سیتوژنتیکی مناسب نبود. اغلب نمونه‌های مورد بررسی از تقارن کروموزومی زیادی برخوردار بودند و تنها نمونه‌های گونه *Ae. triuncialis* با اندکی انحراف در کلاس ۲A استینز قرار گرفتند. بیشترین تغییرات برای گرادیانته سانترومری و پراکنش کروموزومی در نمونه‌های گونه *Ae. speltoides* مشاهده گردید که یکی از قدیمیترین گونه‌های آزیلوپس بوده و والد احتمالی ژنوم B در گندم‌های زراعی است.

### واژه‌های کلیدی: آزیلوپس، تنوع ژنتیکی، فلوسیتومتری، سیتوژنتیک

#### مقدمه

آزیلوپس‌ها در سطوح پلوئیدی دیپلوئید، تتراپلوئید و هگزاپلوئید یافت می‌شوند و نشان داده شده است که گونه‌های پلی‌پلوئید، آمفی‌پلوئیدهایی حاصل از ترکیبات مختلف ژنوم گونه‌های دیپلوئید هستند (Kimber & Feldman 1987) که در طول تکامل این گونه‌ها شکل گرفته‌اند. سه ژنوم اساس A، D و U در مجموعه گندم/آزیلوپس‌ها شناخته شده هستند.

همه گندم‌های دیپلوئید و پلی‌پلوئید در خوشه ژنوم A قرار دارند. خوشه ژنوم D شامل گونه دیپلوئید *Ae. tauschii* Cosson و پنج گونه پلی‌پلوئید

آزیلوپس‌ها از نزدیکترین خویشاوندان گندم، بومی نواحی نیمه خشک غرب و مرکز آسیا هستند و گسترش وسیعی در ایران دارند (Van slageren, 1994). این گیاهان به خوبی به تنش‌های زنده و غیر زنده آن نواحی و تغییرات دوره‌ای و سال به سال شرایط اقلیمی آن سازگار شده‌اند و تنوع بزرگی از ژن‌های تحمل به تنش‌ها و سازگاری را ذخیره کرده‌اند که می‌تواند در توسعه سازگاری‌ها و تنوع ژنتیکی گندم بکار برده شوند (جعفرآقایی و همکاران ۱۳۸۶، Schneider et al, 2008).

نمونه‌های موجود در مراکز نگهداری ژرم‌پلاسم توجه به روشهای غیرمستقیم برآورد وضعیت پلوئیدی مانند بررسی وضعیت و تعداد کلروپلاست در سلول‌های روزنه (قنواتی و اسکندری ۱۳۹۰) و همچنین استفاده از روش فلوسیتومتری جلب گردیده است (Bakhshi et al., 2010). در روش فلوسیتومتری با استفاده از رنگ فلئوروسنت (DAPI (4,6-Di Amino 2-Phenil Indol که بصورت کمپلکس در نواحی باز A-T باند شده و بوسیله نور ماوراء بنفش در ۳۵۰ نانومتر تحریک می‌شود محتوای DNA سلول برآورد می‌گردد (Godelle et al., 1993). محتوای DNA برآورد شده بصورت هیستوگرام نشان داده می‌شود که با مقدار DNA موجود در سلول رابطه نزدیکی دارد. اگرچه محاسبه مقدار DNA نیازمند استفاده از شاهد‌های مرجع استاندارد است. مطالعه حاضر به منظور مطالعه کاربوتایپ گونه‌ها و بررسی وضعیت پلوئیدی در میان بخشی از کلکسیون آژیلویس بانک ژن گیاهی ملی ایران که اخیراً احیا و شناسایی شده بودند انجام گرفته است.

## مواد و روش‌ها

### مواد گیاهی

در این تحقیق ۱۰۲ نمونه گیاهی از هشت گونه آژیلویس بومی ایران که در بانک ژن ملی گیاهی ایران نگهداری می‌شوند و اخیراً احیا و شناسایی شده بودند مورد بررسی قرار گرفتند (جدول ۱).

از بخش *Vertebrata* Zhuk. emend. Kihara از جمله *Cylindropyrum* (Jaub. & Spach) Zhuk. *Ae. crassa* Boiss. از جمله *Ae. cylindrica* Host است. خوشه ژنوم U شامل گونه دیپلوئید *Ae. umbellulata* Zhuk و هفت گونه پلی‌پلوئید از بخش *Aegilops* L. از جمله *Ae. neglecta* Req. ex و *Ae. columnaris* Zhuk و *Ae. triuncialis* (L.) Á. Löve و Bertol Morris (and Sears 1967, Kimber and Feldman 1987). علاوه بر این سه ژنوم اساسی ژنوم‌های فرعی دیگری نیز در این مجموعه یافت می‌شوند که بنظر می‌رسد از ژنوم‌های اصلی مشتق شده‌اند از جمله ژنوم S که در گونه دیپلوئید *Ae. speltooides* Tausch و چهار گونه پلی‌پلوئید بخش *Sitopsis* (Jaub. & Spach) Zhuk. یافت می‌شوند (Kimber & Sears 1987). برخی از آمفی‌پلوئیدها با وجود تفاوت‌های ژنومی از چنان شباهتی با یکدیگر برخوردار هستند که تشخیص آنها تنها با استفاده از خصوصیات مورفولوژیکی مشکل بوده (رنجبر و همکاران ۱۳۸۹) و استفاده از خصوصیات سیتوژنتیکی برای تفکیک صحیح گونه‌ها از یکدیگر ضرورت دارد. همچنین بررسی کاربوتایپی نقش مهمی در تعیین قرابت گونه‌ها ایفا می‌کند و می‌تواند به عنوان اولین قدم در تجزیه فیلوژنی و تکامل گروه‌های خویشاوند، مطرح باشد که از آن جمله در گندم، برنج و گیاهان مرتعی از اهمیت بالایی برخوردار است (Sheidai et al., 1996). از طرف دیگر با توجه به حجم زیاد

جدول ۱- لیست گونه‌های مورد بررسی، محل جمع‌آوری و تعداد نمونه در هر کدام از گونه‌ها

تعداد	محل جمع‌آوری	گونه
۱۲	آذربایجان غربی، آذربایجان شرقی، فارس، ایلام	<i>Ae. collumnaris</i>
۱۵	چارمحال بختیاری، فارس، همدان، ایلام، کرمانشاه، خراسان، مرکزی، زنجان	<i>Ae. crassa</i>
۱۹	آذربایجان غربی، ایلام، کرمانشاه، خراسان، کردستان، مرکزی، زنجان	<i>Ae. cylindrica</i>
۳	هرمزگان، ایلام، کرمانشاه	<i>Ae. neglecta</i>
۳	ایلام	<i>Ae. speltoeides</i>
۱۱	آذربایجان غربی، لرستان، مازندران، زنجان	<i>Ae. tauschii</i>
۳۶	آذربایجان غربی، بوشهر، چارمحال بختیاری، فارس، ایلام، کرمانشاه، خوزستان، مازندران، زنجان	<i>Ae. triuncialis</i>
۳	آذربایجان غربی، همدان	<i>Ae. umbellulata</i>

فلوسیتومتری (ساخت کشور آلمان) آنالیز شدند. اندازه‌گیری محتوای DNA نمونه‌های مورد آزمایش با Gain ۳۷۵ انجام شد و نمونه‌هایی که دارای پیک مناسب بودند جهت مطالعات کاربوتایپی مورد استفاده قرار گرفتند (Bagwell et al., 1989). یک نمونه گندم

مطالعه سطوح پلوئیدی با استفاده از روش فلوسیتومتری تعداد دو برگ جوان را بریده و مقدار ۱۶۰۰ میکرو لیتر از بافر DAPI بر روی برگها ریخته شد و با استفاده از تیغ کاملاً خرد شدند. سوسپانسیون حاصله، از فیلتر مخصوص دستگاه عبور داده شد و بوسیله دستگاه

لوان (۱۹۶۴) و برای تعیین وضعیت تقارن کاربوتاییبی نمونه‌ها از روش استبینز (۱۹۷۱) استفاده شد.

### نتایج

#### ارزیابی محتوای DNA گونه‌ها با استفاده از فلوسیتومتری

پیک فلوسیتومتری برای گیاه جو دیپلوئید در دامنه‌ای بین ۵۶ تا ۷۸ و میانگین ۶۷ و برای گندم هگزاپلوئید در دامنه ۱۸۵ تا ۲۳۸ با میانگین ۲۰۹ مشاهده گردید (جدول ۲).

بنابراین سطح پلوئیدی گونه‌های *Ae. tauschii*, *Ae. speltoides*, *Ae. umbellulata* دارای پیک فلوسیتومتری در محدوده ۵۸ تا ۶۵ بودند که تقریباً یک سوم پیک گندم هگزاپلوئید و برابر جو تتراپلوئید هستند بعنوان گیاهان دیپلوئید و گونه‌های *Ae. crassa*, *Ae. triuncialis*, *Ae. columnaris*, *Ae. neglecta* دارای پیک فلوسیتومتری در محدوده ۱۰۳ تا ۱۳۸ بودند که تقریباً دوبرابر پیک جو دیپلوئید و دو سوم گندم هگزاپلوئید است بعنوان گیاهان تتراپلوئید برآورد شدند (شکل ۱). از طرف دیگر هم درون گونه‌ها هم در بین گونه‌ها تنوع زیادی برای محتوای DNA مشاهده می‌گردد که می‌تواند ناشی از تفاوت ذاتی در اندازه کروموزوم‌های گونه‌های مختلف، تنوع در اندازه کروموزوم‌ها در درون یک گونه و همچنین خطای اندازه‌گیری باشد. بنابراین برای بررسی بیشتر از هر گونه نمونه‌هایی که دارای بیشترین و کمترین پیک فلوسیتومتری بودند انتخاب و برای خصوصیات کاربوتاییبی میتوزی مطالعه شدند.

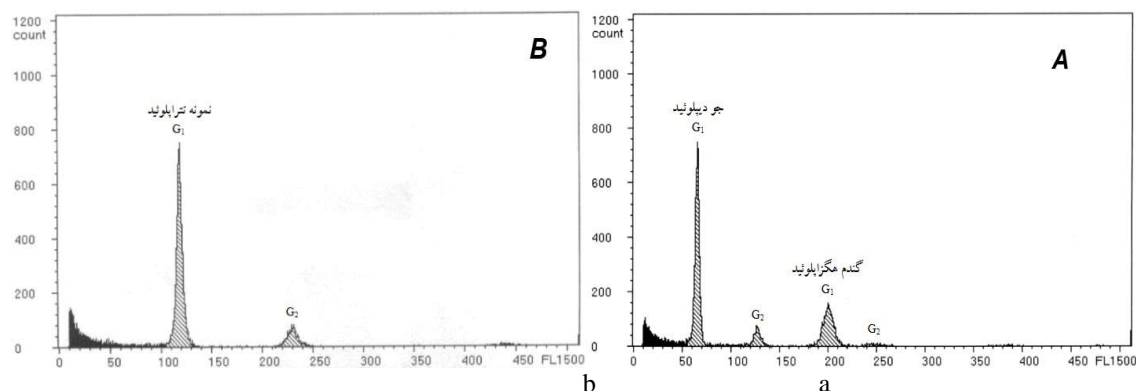
هگزاپلوئید و یک نمونه جو دیپلوئید به عنوان شاهد مورد استفاده قرار گرفتند.

#### مطالعه کاربوتاییبی میتوزی

با توجه به نتایج فلوسیتومتری از هر گونه دو نمونه که دارای بیشترین و کمترین پیک محتوای DNA در میان گونه خود بودند و در مجموع ۱۶ نمونه جهت مطالعه کاربوتاییبی انتخاب شدند. ده عدد بذر از هر نمونه منتخب جوانه دار شدند. ریشه‌ها به مدت سه ساعت در محلول ۸- هیدروکسی کینولین پیش تیمار شدند. سپس برای مدت یک هفته در محلول استو اورسین ۰/۲ درصد تثبیت شدند. برای رنگ آمیزی از محلول استوارسین ۲ درصد استفاده شد. برای هیدرولیز، ریشه‌ها در پنج میلی لیتر اسید استیک ۴۵ درصد و حرارت داده شده و سپس بر روی لام اسکواش شدند (Mujebkazi & Miranda 1985). اسلایدها در زیر میکروسکوپ بررسی شده و از صفحات متافازی مناسب با استفاده از میکروسکوپ دوربین دار زایس و بزرگنمایی ۱۰۰۰ عکس تهیه شد. از هر نمونه سه تا پنج صفحه متافازی مناسب انتخاب و با استفاده از نرم افزار Micro measure تجزیه و تحلیل شدند و خصوصیات طول کل کروموزوم (TL)، طول بازوی بلند (LA)، طول بازوی کوتاه (SA)، نسبت بازوها (AR:L/S)، ضریب تغییرات نمونه‌ها (CV)، شاخص سانترومی (CI) که بیانگر نسبت بازوی کوتاه به طول کل کروموزوم است و شاخص پراکنش کروموزومی (DI) اندازه گیری شد. در هر گونه در میان دو نمونه مورد بررسی و صفحات متافازی انتخابی از هر نمونه برای خصوصیات کروموزوم‌ها میانگین و انحراف معیار محاسبه شد (Reeves, 2001). برای نامگذاری کروموزوم‌ها از روش

جدول ۲ - میانگین و انحراف معیار پیک فلوسیتومتری برای نمونه‌های مورد بررسی، شاهد جو و شاهد گندم

گونه	پیک نمونه	نسبت پیک نمونه به پیک جو دیپلوئید	نسبت پیک نمونه به پیک گندم هگزاپلوئید
<i>Ae. tauschii</i>	۵۸/۵±۵/۷	۰/۸۹±۰/۰۹	۰/۲۸±۰/۰۳
<i>Ae. speltoides</i>	۶۴/۳±۴/۲	۰/۹۴±۰/۰۶	۰/۳±۰/۰۱
<i>Ae. umbellulata</i>	۶۳/۷±۳/۲	۰/۹۱±۰/۰۲	۰/۲۹±۰/۰۱
<i>Ae. crassa</i>	۱۳۷/۸±۱۹/۱	۲/۰۷±۰/۲۴	۰/۶۶±۰/۰۸
<i>Ae. triuncialis</i>	۱۰۳/۹±۹/۶	۱/۵۶±۰/۱۴	۰/۵±۰/۰۴
<i>Ae. columnaris</i>	۱۲۰/۷±۱۰/۶	۱/۷۹±۰/۱۵	۰/۵۷±۰/۰۵
<i>Ae. neglecta</i>	۱۲۴/۷±۶/۷	۱/۸۲±۰/۰۸	۰/۵۹±۰/۰۲



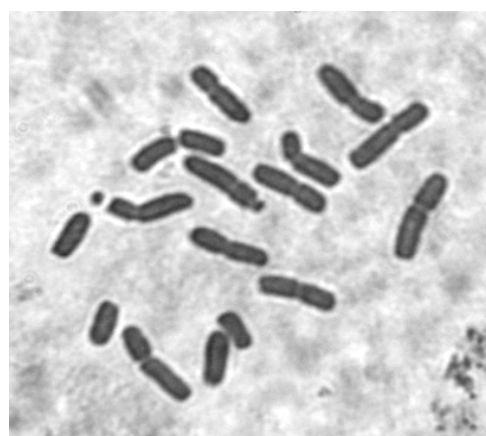
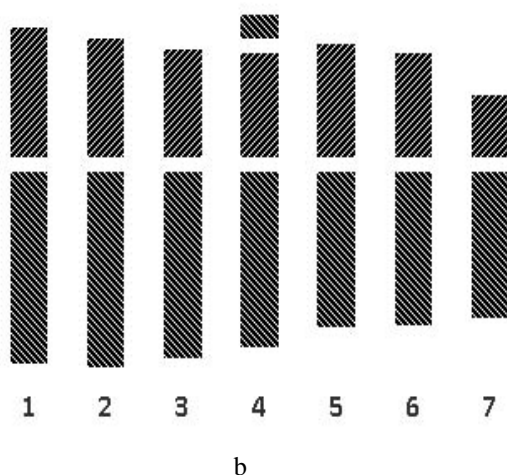
شکل ۱ - پیک فلوسیتومتری برای A- شاهد های جو دیپلوئید و گندم هگزاپلوئید، B- یک نمونه از گونه تتراپلوئید *Ae. columnaris* محور افقی نشانگر محتوای DNA سلول ها و محور عمودی تعداد هسته های شمارش شده. G1 و G2 فاز های ۱ و ۲ تقسیم سلولی.

کروموزوم شماره ۴ مشاهده گردید (شکل ۲). ضریب تغییرات طول کروموزوم ها ۰/۲۰ و شاخص پراکنش کروموزومی برای این گونه ۰/۱۲ محاسبه شد. کروموزوم های این گونه به لحاظ تقارن کروموزومی در جایگاه A جدول استبیز قرار گرفتند (جدول ۱۱). کریم زاده و همکاران (۱۳۸۹) در مطالعه سه جمعیت *Ae. tauschii* هفت جفت کروموزوم متاسانتریک مشاهده کردند و آنها را در کلاس A استبیز قرار دادند. اغلب محققین این گونه را والد ژنوم D در گندم های زراعی معرفی کرده اند (Aghaei et al., 2008). آقای و همکاران (۱۳۸۶) با مشاهده متوسط ۱۲ کیاسما در هیبرید های بین این گونه و گندم زراعی نتیجه گیری کردند که این گونه دارای نزدیکترین ژنوم D به گندم زراعی است.

(Ranjbar et al., 2007) و (Bakhshi et al., 2010) به ترتیب کلکسیون های *Ae. cylindrica* و *Ae. crassa* ایران را به روشی مشابه مورد ارزیابی قرار داده و ضمن تعیین وضعیت پلوئیدی نمونه ها موفق به یافتن نمونه های هگزاپلوئید جدید در این کلکسیون ها شدند.

**گونه *Ae. tauschii***

در میان یازده نمونه *Ae. tauschii* مورد بررسی پیک فلوسیتومتری نمونه بین ۵۰ تا ۷۱ و میانگین پیک ۵۸ بود (جدول ۲). از میان این یازده نمونه بررسی شده نمونه دارای پیک ۵۰ از استان مازندران و نمونه دارای پیک ۷۱ از آذربایجان غربی برای کاریوتایپ میتوزی مطالعه شدند. هر دو نمونه دیپلوئید با  $N=2X=142$  کروموزوم و فرمول کروموزومی  $M+2SM5$  بودند (جدول ۳). یک میکروستلایت در انتهای بازوی کوتاه



شکل ۲ - a تصویر کروموزوم های متافازی میتوز و b: آیدیوگرام کروموزوم ها در نمونه های بررسی شده از گونه *Ae. tauschii*

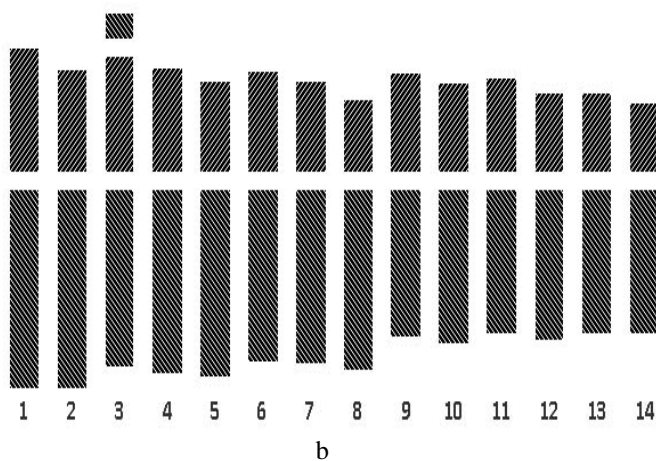
جدول ۳ - میانگین ویژگی‌های مورفولوژیکی کروموزوم‌ها در نمونه‌های بررسی شده از گونه *Ae. tauschii*

شماره	نوع کروموزوم	طول کل	طول بازوی بلند	طول بازوی کوتاه	نسبت طول بازوها	شاخص سانترومیری
۱	M	۳/۸۵±۲۲/۱۴	۱/۷۱±۱۳/۲۴	۲/۹۵±۸/۹	۱/۵	۰/۴۰
۲	M	۳/۹۴±۲۱/۵۷	۳/۳۹±۱۳/۳۷	۱/۱۳±۸/۲	۱/۶	۰/۳۸
۳	SM	۳/۷۴±۲۰/۲۵	۱/۷۷±۱۲/۷۷	۲/۶۳±۷/۴۹	۱/۷	۰/۳۷
۴	M	۲/۸۸±۱۹/۲۶	۳/۰۵±۱۲	۱/۱۵±۷/۲۷	۱/۶	۰/۳۸
۵	M	۲/۹±۱۸/۴۹	۱/۶۴±۱۰/۶۵	۱/۴۸±۷/۸۴	۱/۴	۰/۴۲
۶	M	۲/۷۸±۱۷/۸۶	۲/۹۹±۱۰/۵۸	۱/۶۹±۷/۲۸	۱/۴	۰/۴۱
۷	SM	۰/۲۳±۱۴/۳۴	۱/۱۹±۱۰	۱/۲۲±۴/۳۴	۲/۳	۰/۳

مشاهده کردند. آنها نمونه‌های این گونه را در کلاسهای ۱A تا ۱B استبیز قرار داده‌اند. (Bakhshi et al., 2010) در مطالعه کلکسیون *Ae. cylindrica* ایران پیک فلوسیتومتری بین ۹۶ تا ۱۳۸ با میانگین ۱۱۸ را برای نمونه‌های این کلکسیون مشاهده کردند. آنها دریافتند که نمونه‌های قرار گرفته در این دامنه پیک فلوسیتومتری تتراپلوئید با ۱۴ جفت کروموزوم بودند که شامل ۴-۱ جفت کروموزوم متاسانتریک، ۱۲-۶ جفت ساب متاسانتریک و ۵-۱ جفت کروموزوم ساب تلوسنتریک بودند. این گونه دارای ژنوم CD است که ژنوم D را از گونه *Ae. tauschii* و ژنوم C را از گونه *Ae. caudata* به ارث برده است (Gandhi et al., 2005). آقایی و همکاران (۱۳۸۶) با مشاهده میانگین حدود ۷ کیاسما در هیبریدهای بین گونه‌ای این گونه و گندم زراعی نشان دادند که شباهت زیادی بین ژنوم D این گونه و گندم زراعی وجود دارد.

### گونه *Ae. cylindrica*

نوزده نمونه *Ae. cylindrica* مورد بررسی پیک فلوسیتومتری بین ۹۱ تا ۱۲۵ با میانگین ۱۰۵ نشان می‌دادند (جدول ۲). نمونه‌های دارای پیک ۹۱ و ۱۲۵ از آذربایجان غربی برای کاربوتایپ میتوزی بررسی شدند. بررسی کاربوتایپ میتوزی نمونه‌ها نشان داد که نمونه‌ها تتراپلوئید و شامل ۴ جفت کروموزوم متاسانتریک، ۱۰ جفت کروموزوم ساب متاسانتریک می‌باشد (جدول ۴). شاخص سانترومیری ۰/۰۷ و ضریب تغییرات برای طول کروموزوم‌ها ۰/۱۳ بود. یک جفت میکروستلایت نیز در انتهای بازوی کوتاه کروموزوم‌های شماره ۳ مشاهده گردید (شکل ۳). شاخص پراکنش کروموزومی برای این گونه به میزان ۰/۵۵ و جایگاه آن در جدول استبیز ۱A است (جدول ۱). کریم زاده و همکاران (۱۳۸۹) در بررسی پنج نمونه از این گونه، ۸ تا ۱۴ جفت کروموزوم متاسانتریک و تا ۶ جفت کروموزوم ساب متاسانتریک

شکل ۳ - a تصویر کروموزوم‌های متافازی میتوز و b: آیدیوگرام کروموزوم‌ها در نمونه‌های بررسی شده از گونه *Ae. cylindrica*

جدول ۴ - میانگین ویژگی های مورفولوژیکی کروموزوم ها در نمونه های بررسی شده از گونه *Ae. cylindrica*

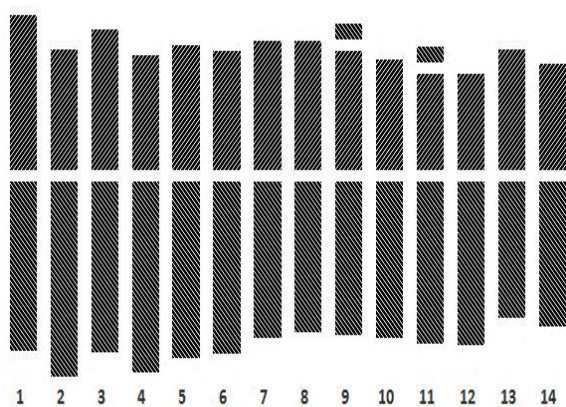
شماره	نوع کروموزوم	طول کل	طول بازوی بلند	طول بازوی کوتاه	نسبت طول بازوها	شاخص سانتومری
۱	M	۰/۹۹±۱۸/۸۹	۲/۰۹±۱۱/۷	۱/۶۵±۷/۲	۱/۶	۰/۳۸
۲	SM	۱/۲±۱۷/۶۱	۲/۶±۱۱/۶۵	۱/۷۴±۵/۹۶	۱/۹	۰/۳۴
۳	M	۱/۰۱±۱۷/۱۳	۱/۷۴±۱۰/۳۷	۱/۱۵±۶/۷۶	۱/۵	۰/۳۹
۴	SM	۱/۱۳±۱۶/۷۵	۱/۵۱±۱۰/۷۴	۱/۹±۶/۰۱	۱/۸	۰/۳۶
۵	SM	۱/۰۱±۱۶/۱۴	۱/۲۹±۱۰/۹۳	۱/۲۸±۵/۲۲	۲/۱	۰/۳۲
۶	SM	۰/۹±۱۵/۸۹	۱/۰۲±۱۰/۰۳	۱/۱۱±۵/۸۶	۱/۷	۰/۳۷
۷	SM	۰/۹۱±۱۵/۳۶	۲/۱۳±۱۰/۱۲	۱/۶۴±۵/۲۴	۱/۹	۰/۳۴
۸	SM	۰/۶۶±۱۴/۷۲	۱/۷۶±۱۰/۵۴	۱/۳۲±۴/۱۸	۲/۵	۰/۲۸
۹	M	۰/۷۱±۱۴/۴۴	۱/۲۳±۸/۶۸	۱/۱۲±۵/۷۶	۱/۵	۰/۴
۱۰	SM	۰/۶۹±۱۴/۰۷	۱/۳±۹/۰۱	۱/۱۷±۵/۰۷	۱/۸	۰/۳۶
۱۱	M	۰/۶۸±۱۳/۸۱	۰/۶۸±۸/۴۱	۰/۹۳±۵/۴	۱/۶	۰/۳۹
۱۲	SM	۰/۶۷±۱۳/۳۷	۱/۶۲±۸/۸	۱/۱±۴/۵۷	۱/۹	۰/۳۴
۱۳	SM	۰/۶۹±۱۳/۱۱	۰/۸۹±۸/۴۸	۱/۰۹±۴/۶۳	۱/۸	۰/۳۵
۱۴	SM	۰/۴۴±۱۲/۴۸	۱/۱۹±۸/۴۸	۱/۰۲±۴	۲/۱	۰/۳۲

**گونه *Ae. crassa***

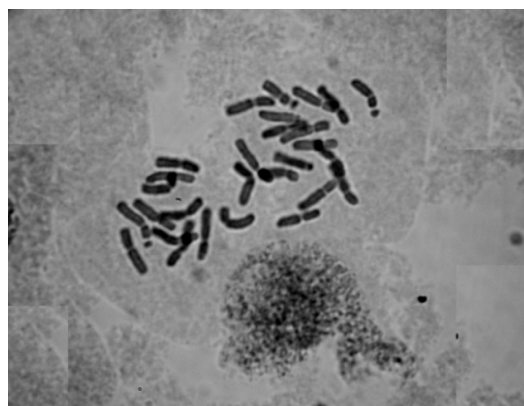
در این تحقیق ۱۵ نمونه *Ae. crassa* مورد بررسی قرار گرفتند. نمونه های مورد بررسی پیک فلوسیتومتری بین ۱۲۳ تا ۲۰۱ نشان دادند که دامنه بسیار وسیعی را شامل می گردد. اما میانگین پیک فلوسیتومتری برای این گونه ۱۳۸ بود (جدول ۲). نمونه های دارای پیک ۱۲۳ از زنجان و ۲۰۱ از خراسان برای وضعیت کاریوتایپ میتوزی بررسی شدند. نمونه زنجان یک نمونه تتراپلوئید با یازده جفت کروموزوم متاسانتریک و سه جفت کروموزوم ساب متاسانتریک بود. اما نمونه خراسان یک نمونه هگزاپلوئید با ۱۸ جفت کروموزوم متاسانتریک و سه جفت کروموزوم ساب متاسانتریک بود، و به همین دلیل پیک فلوسیتومتری در این نمونه بیشتر از سایر نمونه های این گونه بود. (Naghavi et al., 2013)

نمونه های مشابهی را در کلکسیون *Ae. crassa* ایران شناسایی کردند که پیک فلوسیتومتری در ناحیه ۱۹۵ نشان می دادند. آنها نتیجه گرفته اند که این نمونه ها سیتوتیپ هگزاپلوئید از گونه *Ae. crassa* هستند. با اینحال در زمان انجام این تحقیق تردیدهایی در مورد شناسایی گیاهشناسی این نمونه وجود داشته و احتمال تعلق این نمونه ها به گونه *Ae. vavilovi* نیز مطرح بود

بنابراین در ادامه از نمونه های مورد بررسی حذف گردید. نمونه تتراپلوئید زنجان دارای شاخص سانتومری ۰/۱۰ و ضریب تغییرات طول کروموزوم ها ۰/۱۴ بود (جدول). این نمونه دارای دو ماهوارک بر روی بازوهای کوتاه کروموزوم های ۹ و یازده بود. شاخص پراکنش کروموزومی برای آن ۰/۷۴ و در جایگاه ۱A از جدول استیپینز قرار می گرفت. در یک تحقیق مشابه بر روی نمونه های *Ae. crassa* تتراپلوئید ۱۲ جفت کروموزوم متاسانتریک و دو جفت کروموزوم ساب متاسانتریک مشاهده کردند. آنها یک جفت ماهوارک بر روی کروموزوم های متاسانتریک و یک جفت ماهوارک بر روی کروموزوم های ساب متاسانتریک یافته اند (رنجبر و همکاران، ۱۳۸۹). (Hatami-Maleki 2010) در بررسی کاریوتایپ ۱۰ نمونه *Ae. crassa* ایران مشاهده کردند که همه نمونه ها تتراپلوئید با ۱۳ جفت کروموزوم متاسانتریک و یک جفت کروموزوم ساب متاسانتریک بودند. آنها یک جفت ماهوارک بر روی جفت کروموزوم شماره ۹ گزارش کرده اند. سیتوتیپ تتراپلوئید این گونه دارای ژنوم DM بوده و ژنوم D خود را از گونه *Ae. tauschii* به ارث برده است (Kimber & Feldman., 1987).



B



a

شکل ۴ - a تصویر کروموزوم های متافازی میتوز و b: آیدیوگرام کروموزوم‌ها در نمونه‌های بررسی شده از گونه *Ae. crassa*

جدول ۵ - میانگین ویژگی های مورفولوژیکی کروموزوم ها در نمونه‌های بررسی شده از گونه *Ae. crassa*

شماره	نوع	طول کل	طول بازوی بلند	طول بازوی کوتاه	نسبت طول بازوها	شاخص سانترومری
۱	M	۰/۷۸±۲۹/۸۴	۱/۰۲±۱۵/۵۸	۰/۷±۱۴/۲۶	۱/۱	۰/۴۸
۲	M	۰/۸۷±۲۸/۹۹	۰/۲۳±۱۷/۹۵	۰/۹۶±۱۱/۰۵	۱/۶	۰/۳۸
۳	M	۰/۵۲±۲۸/۵۸	۰/۵۹±۱۵/۶۹	۰/۷۵±۱۲/۸۸	۱/۲	۰/۴۵
۴	SM	۰/۸۲±۲۸/۰۲	۳/۶±۱۷/۵۲	۳/۵۱±۱۰/۴۹	۱/۷	۰/۳۷
۵	M	۰/۱۸±۲۷/۷۶	۱/۱±۱۶/۲۲	۱/۰۹±۱۱/۵۴	۱/۴	۰/۴۲
۶	M	۰/۴۶±۲۶/۸۷	۲/۴۲±۱۵/۸۶	۲/۷۳±۱۱/۰۱	۱/۴	۰/۴۱
۷	M	۰/۵±۲۶/۳۳	۰/۶۸±۱۴/۴۵	۱/۰۸±۱۱/۸۸	۱/۲	۰/۴۵
۸	M	۰/۴۱±۲۵/۷۴	۰/۳±۱۳/۸۵	۰/۵۶±۱۱/۸۸	۱/۲	۰/۴۶
۹	M	۰/۱۷±۲۵/۰۸	۰/۹۹±۱۴/۱	۱/۱۵±۱۰/۹۹	۱/۳	۰/۴۴
۱۰	M	۰/۲۶±۲۴/۶۴	۲/۲۱±۱۴/۴۷	۲/۳۹±۱۰/۱۸	۱/۴	۰/۴۱
۱۱	SM	۱/۲۴±۲۳/۸	۲/۲۵±۱۴/۹۳	۲/۷۹±۸/۸۸	۱/۷	۰/۳۷
۱۲	SM	۰/۸۵±۲۳/۹۶	۰/۸۷±۱۵/۱۲	۰/۴۹±۸/۸۴	۱/۷	۰/۳۷
۱۳	M	۰/۸±۲۳/۶۸	۰/۶۲±۱۲/۶۲	۰/۵۶±۱۱/۰۶	۱/۱	۰/۴۷
۱۴	M	۰/۱۴±۲۳/۰۳	۱/۶۲±۱۲/۳۳	۱/۵۷±۹/۷	۱/۴	۰/۴۲

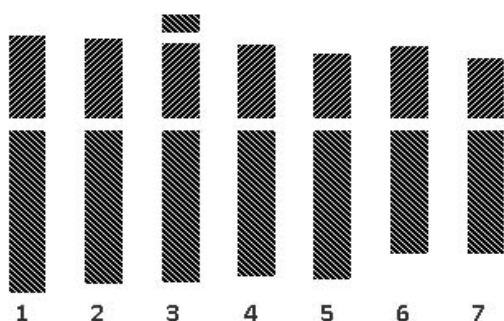
ضریب تغییرات کروموزومی ۰/۲۱ بود. یک جفت ماهوارک نیز در انتهای بازوهای کوتاه کروموزوم شماره ۳ مشاهده گردید(شکل ۵). شاخص پراکنش کروموزومی برای این گونه به میزان ۰/۵۱ و برای تقارن کروموزومی در جایگاه ۱A جدول استبیزین قرار می گرفت. (جدول ۱۱). حسینی و همکاران (۱۳۹۱) پیک فلوسیتومتری برای نمونه‌های گونه *Ae. umbellulata* را بین ۶۵ تا ۱۰۰ گزارش کرده‌اند که در حدود ۰/۳ پیک

#### گونه *Ae. umbellulata*

سه نمونه از این گونه در تحقیق موجود بودند که پیک فلوسیتومتری آنها دامنه ای بین ۶۰ تا ۶۶ را نشان می داد (جدول ۲). نمونه های دارای پیک ۶۰ از همدان و ۶۶ از آذربایجان غربی برای بررسی کاریوتایپ میتوزی مطالعه شدند. نمونه های مورد بررسی این گونه دیپلوئید و شامل هفت جفت کروموزوم ساب متاسانتریک بود(جدول ۶). شاخص سانترومری برای این گونه ۰/۱۰ و

خود را از این گونه به ارث برده اند (Badaeva, 2004).

شاهد گندم هگزاپلوئید بود. این گونه دارای ژنوم U است، و سایر گونه های پلی پلوئید آزیلوپس ژنوم U



B



a

شکل ۵ - a تصویر کروموزوم های متافازی میتوز و b: آیدیوگرام کروموزومها در نمونه های بررسی شده از گونه *Ae. umbellulata*

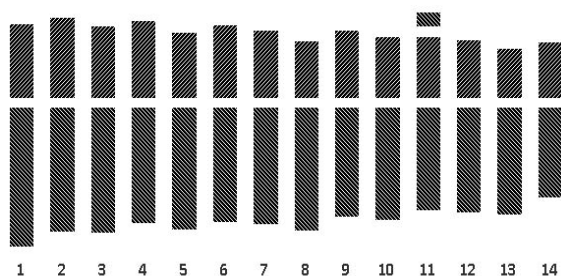
جدول ۶ - میانگین ویژگی های مورفولوژیکی کروموزومها در نمونه های بررسی شده از گونه *Ae. umbellulata*

شماره	نوع کروموزوم	طول کل	طول بازوی بلند	طول بازوی کوتاه	نسبت طول بازوها	شاخص سانتومری
۱	SM	۳/۶±۲۰/۲۹	۳/۳۷±۱۳/۴	۱/۴۲±۶/۸۹	۱/۹۵	۰/۳۴
۲	SM	۳/۵۳±۱۹/۲۸	۲/۶±۱۲/۶۳	۲/۲۵±۶/۶۴	۱/۹۰	۰/۳۴
۳	SM	۳/۶۳±۱۸/۷۵	۳/۳±۱۲/۵۶	۲/۰۴±۶/۲	۲/۲۱	۰/۳۳
۴	SM	۳/۵۴±۱۸/۱۸	۲/۱۷±۱۲/۰۷	۱/۸±۶/۱۱	۲/۰۳	۰/۳۴
۵	SM	۳/۵۴±۱۷/۵۹	۲/۷۷±۱۲/۲۷	۱/۶۲±۵/۳۲	۱/۹۸	۰/۳
۶	SM	۳/۱۶±۱۶/۱۶	۳/۲۵±۱۰/۱۸	۲/۲۵±۵/۹۹	۲/۳۱	۰/۳۷
۷	SM	۳/۲۳±۱۵/۲۸	۳/۱۳±۱۰/۲۱	۱/۷±۵/۰۷	۱/۷۰	۰/۳۳

این گونه ۰/۰۸ و ضریب تغییرات کروموزومی ۰/۱۵ بود. یک جفت ماهوارک در انتهای بازوی کوتاه کروموزوم شماره ۱۱ مشاهده گردید (شکل ۶). شاخص پراکنش کروموزومی برای این گونه ۰/۵۷ و به لحاظ تقارن کروموزومی در جایگاه ۱A جدول استبیز قرار می گرفت (جدول ۱۱). این گونه دارای ژنوم UM است، و ژنوم U خود را از گونه *Ae. umbellulata* به ارث برده است (Damania, 1997).

**گونه *Ae. columnaris***

در میان ۱۲ نمونه مورد بررسی از گونه *Ae. columnaris* پیک فلوسیتومتری بین ۹۸ تا ۱۳۸ با میانگین ۱۲۰ بود (جدول ۲). نمونه های دارای پیک ۱۲۷ و ۱۳۸ از آذربایجان غربی برای خصوصیات کاریوتایپی بررسی شدند. نمونه های این گونه تتراپلوئید و شامل سه جفت کروموزوم متاسانتریک، ۱۱ جفت کروموزوم ساب متاسانتریک بودند (جدول ۷). شاخص سانتومری برای



b



a

شکل ۶ - a تصویر کروموزوم های متافازی میتوز و b: آیدیوگرام کروموزومها در نمونه های بررسی شده از گونه *Ae. columnaris*



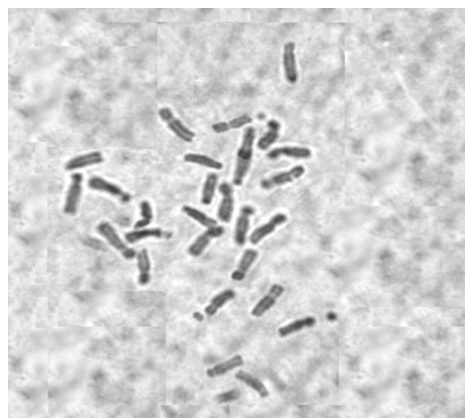
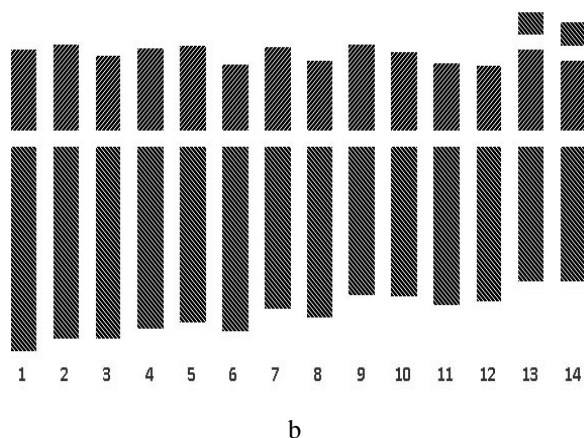
جدول ۷ - میانگین ویژگی‌های مورفولوژیکی کروموزوم‌ها در نمونه‌های بررسی شده از گونه *Ae. columnaris*

شماره	نوع کروموزوم	طول کل	طول بازوی بلند	طول بازوی کوتاه	نسبت طول بازوها	شاخص سانترومیری
۱	SM	۱/۹۵±۲۲/۴	۱/۹۴±۱۴/۶۷	۱/۳۱±۷/۷۳	۱/۹۰	۰/۳۵
۲	M	۲/۷۷±۲۱/۶۸	۲/۳±۱۳/۱۴	۱/۲±۸/۵۴	۱/۵۴	۰/۳۹
۳	SM	۲/۱۴±۲۰/۸۹	۱/۸۶±۱۳/۳	۰/۹۴±۷/۵۹	۱/۷۵	۰/۳۶
۴	M	۲/۲۸±۲۰/۳۹	۱/۳۲±۱۲/۲۵	۱/۴۳±۸/۱۳	۱/۵۱	۰/۴
۵	SM	۱/۹۷±۱۹/۸۴	۱/۴۵±۱۳	۱/۹۸±۶/۸۴	۱/۹۰	۰/۳۴
۶	M	۲/۳±۱۹/۷۴	۱/۷۶±۱۲/۰۸	۱/۱۳±۷/۶۶	۱/۵۸	۰/۳۹
۷	SM	۲/۱۴±۱۹/۳۹	۱/۷۳±۱۲/۳۳	۱/۰۸±۷/۰۶	۱/۷۵	۰/۳۶
۸	SM	۲/۰۵±۱۹/۰۸	۱/۸۲±۱۳/۰۵	۱/۰۲±۶/۰۳	۲/۱۷	۰/۳۲
۹	SM	۲/۱۳±۱۸/۶۷	۱/۱۲±۱۱/۵۸	۲/۰۴±۷/۱	۱/۶۳	۰/۳۷
۱۰	SM	۱/۹۱±۱۸/۳۵	۲/۰۳±۱۱/۹۲	۰/۵۳±۶/۴۴	۱/۸۵	۰/۳۶
۱۱	SM	۱/۹۱±۱۷/۴۷	۱/۵۵±۱۰/۹۵	۱/۳۴±۶/۵۳	۱/۶۸	۰/۳۷
۱۲	SM	۱/۹۶±۱۷/۱۵	۱/۷۳±۱۱/۰۴	۱/۲۳±۶/۱۱	۱/۸۱	۰/۳۱
۱۳	SM	۱/۷۱±۱۶/۴۶	۲/۵۷±۱۱/۲۹	۱/۹۱±۵/۱۷	۲/۱۸	۰/۳۸
۱۴	SM	۲/۴۱±۱۵/۳۷	۲±۹/۵۲	۱/۴۸±۵/۸۵	۱/۷۶	۰/۳۶

مشاهده گردید (شکل ۷). شاخص پراکنش کروموزومی برای این گونه به میزان ۰/۴۶ برای تقارن کروموزومی در جایگاه ۲A جدول استبیز قرار گرفت که دارای نامتقارن ترین کروموزوم‌ها در میان گونه‌های مورد بررسی است (جدول ۱۱). کریم زاده و همکاران (۱۳۸۹) در بررسی شش نمونه از این گونه، بین ۴ تا ۱۳ جفت کروموزوم متاسانتریک و ۱ تا ۱۰ جفت کروموزوم ساب متاسانتریک مشاهده کرده و نمونه‌ها مطالعه شده را در کلاس‌های ۱A تا ۱B استبیز گروه‌بندی کردند. این گونه دارای ژنوم UC می‌باشد، و ژنوم U خود را از گونه *Ae. umbellulata* به ارث برده است (Badaeva et al., 2004).

#### گونه *Ae. triuncialis*

سی و شش نمونه *Ae. triuncialis* مورد بررسی پیک فلوسیتومتری بین ۸۵ تا ۱۳۶ با میانگین ۱۰۳ نشان دادند (جدول ۲). نمونه‌های دارای پیک ۸۵ و ۱۲۶ از آذربایجان غربی برای بررسی کاربوتاییبی انتخاب شدند. نمونه‌های بررسی شده این گونه تتراپلوئید و شامل سیزده جفت کروموزوم ساب متاسانتریک و یک جفت کروموزوم ساب تلوسانتریک بود (جدول ۸). شاخص سانترومیری برای این گونه ۰/۰۶ و ضریب تغییرات طول کروموزوم‌ها ۰/۱۳ برآورد گردید. دو جفت ماهوارک بر روی بازوهای کوتاه کروموزوم‌های شماره ۱۳ و ۱۴



شکل ۷ - a تصویر کروموزوم‌های متافازی میتوز و b: آیدیوگرام کروموزوم‌ها در نمونه‌های بررسی شده از گونه *Ae. triuncialis*

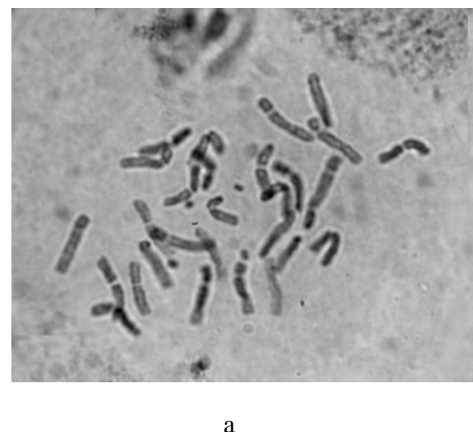
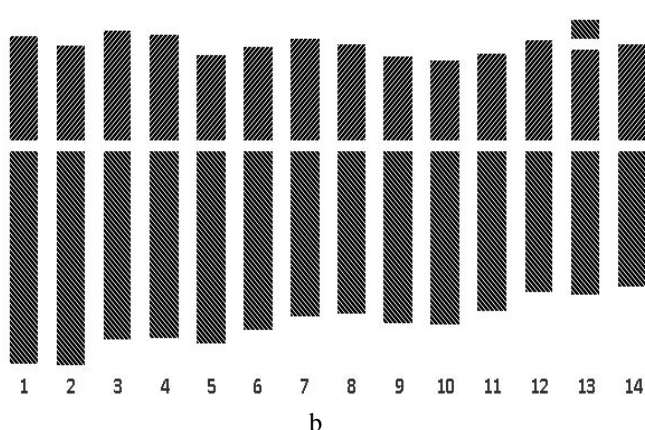
جدول ۸ - میانگین ویژگی های مورفولوژیکی کروموزوم ها در نمونه های بررسی شده از گونه *Ae. triuncialis*

شماره	نوع	طول کل	طول بازوی بلند	طول بازوی کوتاه	نسبت طول بازوها	شاخص سانترومیری
۱	SM	۱/۴۵±۱۸/۵۸	۲/۴۵±۱۳/۳	۱/۸±۵/۲۸	۲/۵۲	۰/۲۹
۲	SM	۱/۶۳±۱۸/۱۴	۲/۱۵±۱۲/۵۴	۱±۵/۶	۲/۲۴	۰/۳۱
۳	SM	۱/۸±۱۷/۴۲	۱/۴۵±۱۲/۵۳	۱/۷±۴/۸۹	۲/۵۶	۰/۲۸
۴	SM	۱/۷۳±۱۷/۲۸	۱/۹۵±۱۱/۹۱	۱/۰۶±۵/۳۷	۲/۲۲	۰/۳۱
۵	SM	۱/۷±۱۶/۹۵	۱/۷۲±۱۱/۴۳	۰/۹±۵/۵۲	۲/۰۷	۰/۳۳
۶	ST	۱/۵۲±۱۶/۳۳	۱/۴۴±۱۲/۰۹	۱/۴۵±۴/۲۴	۲/۸۵	۰/۲۶
۷	SM	۱/۴۳±۱۶/۰۹	۱/۷۷±۱۰/۶۱	۱/۲۲±۵/۴۸	۱/۹۴	۰/۳۴
۸	SM	۱/۴±۱۵/۷	۱/۶۷±۱۱/۱۳	۰/۹۶±۴/۵۷	۲/۴۳	۰/۲۹
۹	SM	۱/۴۶±۱۵/۲۹	۱/۴±۹/۶۶	۱/۴۳±۵/۶۳	۱/۷۲	۰/۳۷
۱۰	SM	۱/۲۷±۱۴/۸۹	۱/۸۱±۹/۸	۱/۲۹±۵/۰۹	۱/۹۲	۰/۳۴
۱۱	SM	۱/۲۵±۱۴/۷۹	۱/۰۵±۱۰/۳۹	۰/۸۳±۴/۴۱	۲/۳۶	۰/۳
۱۲	SM	۱/۰۸±۱۴/۳۵	۱/۲۵±۱۰/۱۵	۱/۵±۴/۲	۲/۴۲	۰/۲۹
۱۳	SM	۱/۰۱±۱۴	۱/۲۲±۸/۷۵	۰/۸۵±۵/۲۵	۱/۶۶	۰/۳۸
۱۴	SM	۱/۱±۱۳/۲۹	۱/۳±۸/۷۴	۱/۱۱±۴/۵۴	۱/۹۳	۰/۳۴

**گونه *Ae. neglecta***

سه نمونه گونه *Ae. neglecta* پیک فلوسیتومتری بین ۱۱۷ تا ۱۲۹ با میانگین ۱۲۴ نشان دادند (جدول ۲). نمونه های دارای پیک ۱۱۷ از ایلام و ۱۲۹ از کرمانشاه برای خصوصیات کاریوتایی بررسی شدند. نمونه های این گونه تتراپلوئید و شامل دو جفت کروموزوم متاسانتریک، ۱۲ جفت کروموزوم ساب متاسانتریک است (جدول ۹). شاخص سانترومیری ۰/۰۷ و ضریب تغییرات برای طول

کروموزومها ۰/۱۳ بود. یک جفت ماهوارک بر روی بازوی کوتاه کروموزوم شماره ۱۳ مشاهده گردید (شکل ۸). شاخص پراکنش کروموزومی برای این گونه به میزان ۰/۵۴ و به لحاظ تقارن کروموزومی در جایگاه ۱A جدول استبیز قرار گرفته است (جدول ۱۱). این گونه دارای ژنوم UM بوده و ژنوم U را از گونه *Ae. umbellulata* به ارث برده است (Badaeva et al., 2004).



شکل ۸ - a تصویر کروموزوم های متافازی میتوز و b: آیدیوگرام کروموزومها در نمونه های بررسی شده از گونه *Ae. neglecta*

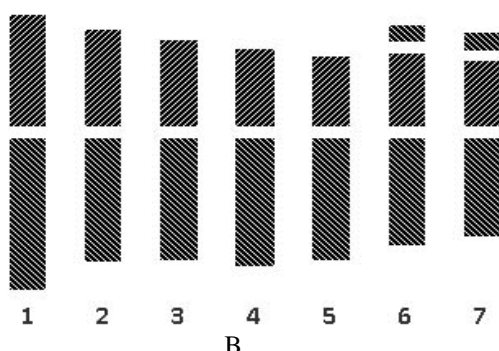
جدول ۹ - میانگین ویژگی های مورفولوژیکی کروموزوم ها در نمونه‌های بررسی شده از گونه *Ae. neglecta*

شماره	نوع کروموزوم	طول کل	طول بازوی بلند	طول بازوی کوتاه	نسبت طول بازوها	شاخص سانتومتری
۱	SM	۲/۱۵±۲۶/۴۹	۲/۳۷±۱۷/۸	۲/۷±۸/۶۹	۲/۰۵	۰/۳۳
۲	SM	۲/۴۳±۲۵/۷۸	۳/۴۴±۱۷/۹۳	۱/۵±۷/۸۵	۲/۲۸	۰/۳۰
۳	SM	۲/۴۳±۲۵/۰۲	۱/۳۲±۱۵/۸	۲/۴۸±۹/۲۲	۱/۷۱	۰/۳۷
۴	SM	۲/۸۱±۲۴/۳۹	۳/۱۶±۱۵/۶۲	۱/۹۷±۸/۷۸	۱/۷۸	۰/۳۶
۵	SM	۱/۹±۲۳/۲	۱/۲۲±۱۶/۱۲	۱/۴۹±۷/۰۹	۲/۲۷	۰/۳۱
۶	SM	۱/۵۱±۲۲/۶۶	۱/۸۲±۱۴/۹۵	۲/۱۸±۷/۷۱	۱/۹۴	۰/۳۴
۷	SM	۱/۲۳±۲۲/۲۸	۲/۷۶±۱۳/۸۵	۱/۹۳±۸/۴۳	۱/۶۴	۰/۳۸
۸	SM	۱/۴۴±۲۱/۶۳	۲/۶۵±۱۳/۵۹	۱/۹۲±۸/۰۴	۱/۶۹	۰/۳۷
۹	SM	۱/۴۳±۲۱/۲۶	۲/۰۳±۱۴/۲۹	۲/۳۶±۶/۹۶	۲/۰۵	۰/۳۳
۱۰	SM	۱/۶۸±۲۱/۰۱	۲/۴۲±۱۴/۴۸	۱/۵۶±۶/۵۳	۲/۲۲	۰/۳۱
۱۱	SM	۱/۷±۲۰/۵۵	۱/۹۳±۱۳/۳۶	۲/۲۹±۷/۱۹	۱/۸۶	۰/۳۵
۱۲	M	۱/۶۴±۲۰/۰۸	۲/۰۸±۱۱/۷۵	۱/۱۴±۸/۳۲	۱/۴۱	۰/۴۱
۱۳	SM	۱/۸۴±۱۹/۴۶	۱/۹۵±۱۱/۹۹	۱/۶۵±۷/۴۷	۱/۶۰	۰/۳۸
۱۴	M	۱/۷۶±۱۹/۲۱	۱/۵±۱۱/۲۲	۱/۴۳±۷/۹۸	۱/۴۱	۰/۴۲

برای طول کروموزوم‌ها ۰/۳۰ بود. دو جفت ماهوارک بر روی بازوهای کوتاه کروموزوم های شماره ۶ و ۷ نیز مشاهده گردید(شکل ۹). شاخص پراکنش کروموزومی برای این گونه به میزان ۰/۶۸ از نظر تقارن کروموزومی در جایگاه ۱A جدول استبیینز قرار می‌گیرد (جدول ۱۱). ژنوم این گونه S می‌باشد که به عقیده بسیاری از دانشمندان منشأ احتمالی ژنوم B گندم زراعی است (Multani et al., 1998).

**گونه *Ae. speltoides***

سه نمونه *Ae. speltoides* مورد بررسی از ایلام جمع‌آوری شده و پیک فلوسیتومتری بین ۶۱ تا ۶۹ نشان دادند (جدول ۲). نمونه‌های دارای پیک ۶۱ و ۶۹ برای خصوصیات کاربوتاییبی بررسی شدند. این نمونه‌ها دیپلوئید و شامل چهار جفت کروموزوم متاسانتریک و سه جفت کروموزوم ساب متاسانتریک بودند (جدول ۱۰). شاخص سانتومتری در این گونه ۰/۲۱ و ضریب تغییرات



شکل ۹ - a تصویر کروموزوم های متافازی میتوز و b: آیدیوگرام کروموزوم‌ها در نمونه‌های بررسی شده از گونه *Ae. speltoides*

جدول ۱۰ - میانگین ویژگی های مورفولوژیکی کروموزوم ها در نمونه‌های بررسی شده از گونه *Ae. speltoides*

شماره	نوع کروموزوم	طول کل	طول بازوی بلند	طول بازوی کوتاه	نسبت طول بازوها	شاخص سانتومتری
۱	M	۶/۳۲±۲۲/۲۴	۴/۴۲±۱۲/۸۳	۲/۲۶±۹/۴۱	۱/۳۶	۰/۴۲
۲	M	۵/۱۴±۱۸/۷۱	۲/۷۳±۱۰/۵	۲/۶۵±۸/۲۱	۱/۲۸	۰/۴۴
۳	M	۴/۷۶±۱۷/۶	۳/۰۵±۱۰/۳	۱/۷۷±۷/۳	۱/۴۱	۰/۴۱
۴	SM	۴/۹±۱۷/۴	۱/۹۹±۱۰/۷۷	۳/۴۵±۶/۶۳	۱/۶۳	۰/۳۸
۵	SM	۳/۷۲±۱۶/۱۸	۲/۱۶±۱۰/۲۷	۱/۹۹±۵/۹	۱/۷۴	۰/۳۶
۶	SM	۴/۳۲±۱۵/۱۸	۱/۴۲±۸/۹۸	۳/۱۹±۶/۲	۱/۴۵	۰/۴۱
۷	M	۳/۳۸±۱۳/۷۱	۱/۹۴±۸/۲۴	۱/۹۶±۵/۴۷	۱/۵۱	۰/۴۰

انتظار برای گندم های دیپلوئید و تتراپلوئید نشان دادند. و نتایج مطالعه کاربوتایپ ها نیز وضعیت پلوئیدی گونه‌ها را تأیید کرد. ولی دامنه وسیع پیک فلوسیتومتری در میان نمونه‌های مورد بررسی با سطح پلوئیدی مشابه

**بحث و نتیجه گیری**

**بررسی کاربوتاییبی گونه‌ها**

مورفوتیپ های مورد مطالعه از هر هشت گونه مورد بررسی ، شاخص فلوسیتومتری را در محدوده مورد

تاکنون ناشناخته مانده است. به لحاظ تقارن کروموزومی گونه‌های مورد بررسی از بیشترین تقارن کروموزومی برخوردار بوده و بجز گونه *Ae. triuncialis* بقیه در کلاس ۱A جدول استبینز قرار گرفته اند. تفاوت‌های درون گونه‌ای هم برای خصوصیات کاریوتایی و هم برای محتوای DNA مشاهده می‌گردید اما به لحاظ اندک بودن تعداد نمونه‌های مورد بررسی برای برخی از نمونه‌ها تأیید وجود تفاوت‌های معنی دار در درون گونه‌ها مستلزم بررسی تعداد بیشتری نمونه از هر گونه است.

نشان داد که ابزار فلوسیتومتری با استفاده از رنگ DAPI بیشتر می‌تواند برای تعیین سطوح پلوئیدی و نه ناهنجاری‌های کروموزومی بکار برده شود. هرچند وجود گونه‌ها و سیتوتیپ‌های متفاوت با موفولوژی مشابه نیاز به کاربرد یک روش سریع برای تعیین سطح پلوئیدی نمونه‌ها را ایجاب می‌نماید. بیشترین تغییرات برای گرادینت سانترومری و پراکنش کروموزومی در نمونه‌های گونه *Ae. speltoeides* مشاهده گردید که بنظر می‌سد یکی از قدیمیترین گونه‌های آزیلوپس بوده و والد احتمالی ژنوم B در گندم‌های زراعی است که

جدول ۱۱- شاخص پراکنش کروموزومی، ژنوم و جایگاه گونه‌ها در جدول استبینز

گونه	ژنوم	گرادینت سانترومری	پراکنش کروموزومی	جایگاه در جدول استبینز
<i>Ae. speltoeides</i>	S	۰/۶۸	۰/۲۱	A۱
<i>Ae. tauschii</i>	D	۰/۶۲	۰/۱۲	A۱
<i>Ae. umbellulata</i>	U	۰/۵۱	۰/۱۰	A۱
<i>Ae. cylindrical</i>	CD	۰/۵۵	۰/۰۷	A۱
<i>Ae. crassa</i>	DM	۰/۷۴	۰/۱۰	A۱
<i>Ae. columnaris</i>	UM	۰/۵۷	۰/۰۸	A۱
<i>Ae. neglecta</i>	UM	۰/۵۴	۰/۰۷	A۱
<i>Ae. triuncialis</i>	UC	۰/۴۶	۰/۰۶	A۲

که امکانات اجرایی جهت انجام این مطالعه را فراهم نمودند سپاسگذاری نمایند.

### سپاسگزاری

نگارندگان وظیفه خود می‌دانند از موسسه تحقیقات اصلاح و تهیه نهال و بذر و بانک ژن گیاهی ملی ایران

### REFERENCES

- Aghaei, M.J., J. Mozafari, A.R. Taleei, M.R. Naghavi, M. Omid. (2008). Distribution and diversity of *Aegilops tauschii* in Iran. *Genet Resour Crop Evol*, 55, 341-349.
- Badaeva E.D., Amosova A.V., Samatadze T.E., Zoshchuk S.A., Shostak N.G., Chikida N.N., Zelenin A.V., Raupp W.J., Friebe B., Gill B.S. (2004). Genome differentiation in *Aegilops*. 4. Evolution of the U-genome cluster. *Plant Syst. Evol*, 246, 45-76.
- Bagwell, C. B., Baker, D., Whetstone, S., Munson, M., Hitchcox, S., Ault, K. A. & Lovett, E. J. (1989). A simple and rapid method for determining the linearity of a flow cytometer amplification system, *Cytometry*, 10, 689-694.
- Bakhshi B., M.J. Aghaei, M. Bihanta, R., Darvish, F. & Zarifi, E. (2010). Ploidy determination of *Aegilops cylindrical* host accessions of Iran by using flow cytometry and chromosome counting. *Iran. J. Bot*, 16 (2), 258-266.
- Damania, A.B. (1997). *Domestication and insitu conservation of cereal wild Progenitors in the near East*. C/O Genetics Resources Units, ICARDA, Aleppo, Syria.
- Gandhi H.T., Vales M.I., Watson C.J.W., Mallory-Smith C.A., Mori N., Rehman M., Zemetra R.S., Riera-Lizarazu O. (2005). Chloroplast and nuclear microsatellite analysis of *Aegilops cylindrical*. *Theor Appl Genet*, 111, 561-572
- Ghanavati F., Eskandari H. (2011). Relationsheep between coloroplat numbers in stomatal gard cells, Flowcytometry and ploidy level in *Onobrychiss* species. *Seed and Plant Imrovement Journal*, 27(1), 427-439. (In Farsi)

8. Godelle, B., Cartier, D., Marie, D., Brown, S.C., & Siljak-ya-kovlev, S. (1993). Heterochromatin study demonstrating the non-linearity of fluorometry useful for calculating genomic base composition. *Cytometry*, 14, 618-626.
9. Hatami-Maleki H., Samizadeh., H., Asghari-Zakaria R., Moshtaghi N., Fazeli-Sangari E. (2010). A comparative study of chromosome morphology among some accessions of *Aegilops crassa*. *African Journal of Biotechnology*, 9(7), 996-1000
10. Hosseini, F., Jaffaraghaei, M., Khosroshahli, M., Vaezi., S, Mohammadi, B. (2012). Evaluation of DNA content is accessions of *Aegilops umbellulata* collection. *New Genetics Journal*. Special Issue for 12<sup>th</sup> Iranian Genetic Congerss. (In Farsi).
11. Jaffaraghaei., M., Naghavi., M.R., Omidi, M. (2007). Importace of D genome in adaptability improvement of bread wheat. *Genetics in 3<sup>rd</sup> melinium*. 5(3), 1134-1142. (In Farsi)
12. Karimzadeh G., Ashkani S., Ahmadian-Tehrani P., Davoodi D., Mirzaghaderi G. (2010). Cytogenetical evaluation in some Iranian Wild wheats and *Aegilops* species and OR banding. *Iranian Crop Science Journal*. 41(2), 305-313 (In Farsi)
13. Kimber., G., Feldman., M. (1987). *Wild wheat, an introduction*. College of Agriculture University of Missouri, Columbia. 142 pp.
14. Kimber., G., Zhao., Y.H. (1983). The D genome of the Triticeae. *Can. J. Genet. Cytol.* 25, 581-589.
15. Levan., A., Fredka., K. & Sandberg., A. (1964). Nomeclature for centromic Position on chromosomes. *Hereditas*, 52(2)201-220.
16. Morris, R., Sears, E. R. (1967). The cytogenetics of wheat and its relatives. In: Quisenberry K. S., Reitz L. P. (eds.) *Wheat and wheat improvement*. Am. Soc. Agrom. Monographs, Madison, Wisconsin, pp. 9–87.
17. Mujeeb-Kazi A., Miranda, J.L. (1985). Enhanced resolution of somatic chromosome constriction as an aid to identifying intergeneric hybrids among some Triticeae. *Cytologia*, 50, 701-709.
18. Multani, D.S., Dhaliwal, H.S. Singh, P. & Gill, K.S. (1988). Synthetic amphiploids of wheat as a source of resistance to karnal bunt (*Neovossia indica*). *Plant Breed*, 101,122–125.
19. Naghavi, M.R., Ranjbar, M., Hassani, M.H., Aghaei, M.J. & Bamneshin, M. (2013). Characterization of Iranian Accessions of *Aegilpos crassa* Boiss. Using Flow Cytometry and Protein Analysis. *J. Agr. Sci. Tech*, 15, 4, 811-818
20. Ranjbar M., Naghavi M.R., Zali A.A., Jaffaraghaei M., ZArifi E. (2010). Identification of *Aegilops* cytotypes from Iran and Evaluation their discrimal morphological traits. *Iranian Agricultural Science*, 41(2), 225-234. (In Farsi)
21. Ranjbar, M., Naghavi, M.R. Zali, A. Aghaei M.J. (2007). Multivariate analysis of morphological variation in accessions of *Aegilops crassa* from Iran. *Pakistan J. of Bio. Sci*, 10(7), 1126-1129.
22. Reeves, A. (2001). MicroMeasure: A new computer program for the collection and analysis of cytogenetic data. *Genome*, 44, 439–443
23. Schneider, A., Molnár, I., Molnár-Láng, M. (2008). Utilisation of *Aegilops* (goatgrass) species to widen the genetic diversity of cultivated wheat. *Euphytica*, 163, 1–19
24. Sheidai, M., Ahmadian, P. Poorseyedi, S.h. (1996). Cytogenetical studies in Iran Zira three genera: *Bunium*, *Carum* and *Cuminum*. *Cytologia*, 61, 19-25.
25. Stebbins, G.L. (1971). *Chromosomal evolution in higher plants*. London:Edward Arnold Publisher Ltd, London.
26. Van-Slageren, M.W. (1994). *Wild Wheats; a Monograph of Aegilops L. and Amblyopyrum (Jaub. & Spach) Eig (Poaceae)*. Agricultural University Wageningen: the Netherlands; ICARDA: Aleppo, Syria. pp 512.

## بررسی صفات کاریوتایی در برخی گونه‌های کلکسیون آزیلوپس ایران

محمد جعفر آقایی<sup>۱\*</sup>، شاهین واعظی<sup>۱</sup>، محمد علی ابراهیمی<sup>۲</sup> و مقداد توکلی<sup>۳</sup>  
۱، استادیار عضو هیئت علمی بانک ژن گیاهی ملی ایران، ۲، استادیار عضو هیئت علمی دانشگاه پیام نور،  
۳، دانشجوی کارشناسی ارشد دانشگاه پیام نور واحد کرج  
( تاریخ دریافت: ۹۰/۶/۶ - تاریخ تصویب: ۹۲/۶/۶ )

### چکیده

جنس آزیلوپس *Aegilops L.* یکی از خویشاوندان وحشی گندم نان بوده و پراکنش وسیعی در خاور میانه و غرب آسیا دارد که ایران بخش وسیعی از این منطقه را در بر می‌گیرد. گونه‌های این جنس در تکامل گندم هگزاپلوئید نقش به‌سزایی داشته و به‌طور مستقیم و غیرمستقیم بخشنده ژنوم‌های D و B به این گندم می‌باشند. به منظور شناسایی و تعیین سطح پلوئیدی تعدادی از نمونه‌های آزیلوپس بومی ایران، ۱۰۳ نمونه متعلق به ۸ گونه که از نقاط مختلف ایران جمع‌آوری شده بودند، با دو روش فلوسیتومتری و سیتوژنتیکی مورد بررسی قرار گرفتند. سطوح پلوئیدی نمونه‌ها با مقایسه نمودار پیک فلوسیتومتری هر نمونه با پیک مشابه در نمونه‌های شاهد گندم هگزاپلوئید و جو دیپلوئید برآورد گردید و برای تأیید برآوردها دو نمونه از هرگونه مورد بررسی کاریوتایپ میتوزی قرار گرفت. مطالعات کاریوتایی نمونه‌ها، برآورد سطوح پلوئیدی نمونه‌ها با استفاده از روش فلوسیتومتری را تأیید کرد اما این روش برای شناسایی ناهنجاری‌های سیتوژنتیکی مناسب نبود. اغلب نمونه‌های مورد بررسی از تقارن کروموزومی زیادی برخوردار بودند و تنها نمونه‌های گونه *Ae. triuncialis* با اندکی انحراف در کلاس ۲A استیپنز قرار گرفتند. بیشترین تغییرات برای گرادیانته سانترومیری و پراکنش کروموزومی در نمونه‌های گونه *Ae. speltoides* مشاهده گردید که یکی از قدیمیترین گونه‌های آزیلوپس بوده و والد احتمالی ژنوم B در گندم‌های زراعی است.

### واژه‌های کلیدی: آزیلوپس، تنوع ژنتیکی، فلوسیتومتری، سیتوژنتیک

#### مقدمه

آزیلوپس‌ها در سطوح پلوئیدی دیپلوئید، تتراپلوئید و هگزاپلوئید یافت می‌شوند و نشان داده شده است که گونه‌های پلی‌پلوئید، آمفی‌پلوئیدهایی حاصل از ترکیبات مختلف ژنوم گونه‌های دیپلوئید هستند (Kimber & Feldman 1987) که در طول تکامل این گونه‌ها شکل گرفته‌اند. سه ژنوم اساس A، D و U در مجموعه گندم/آزیلوپس‌ها شناخته شده هستند.

همه گندم‌های دیپلوئید و پلی‌پلوئید در خوشه ژنوم A قرار دارند. خوشه ژنوم D شامل گونه دیپلوئید *Ae. tauschii* Cosson و پنج گونه پلی‌پلوئید

آزیلوپس‌ها از نزدیکترین خویشاوندان گندم، بومی نواحی نیمه خشک غرب و مرکز آسیا هستند و گسترش وسیعی در ایران دارند (Van slageren, 1994). این گیاهان به خوبی به تنش‌های زنده و غیر زنده آن نواحی و تغییرات دوره‌ای و سال به سال شرایط اقلیمی آن سازگار شده‌اند و تنوع بزرگی از ژن‌های تحمل به تنش‌ها و سازگاری را ذخیره کرده‌اند که می‌تواند در توسعه سازگاری‌ها و تنوع ژنتیکی گندم بکار برده شوند (جعفر آقایی و همکاران ۱۳۸۶، Schneider et al, 2008).

نمونه‌های موجود در مراکز نگهداری ژرم‌پلاسم توجه به روشهای غیرمستقیم برآورد وضعیت پلوئیدی مانند بررسی وضعیت و تعداد کلروپلاست در سلول‌های روزنه (قنواتی و اسکندری ۱۳۹۰) و همچنین استفاده از روش فلوسیتومتری جلب گردیده است (Bakhshi et al., 2010). در روش فلوسیتومتری با استفاده از رنگ فلئوروسنت (DAPI (4,6-Di Amino 2-Phenil Indol که بصورت کمپلکس در نواحی باز A-T باند شده و بوسیله نور ماوراء بنفش در ۳۵۰ نانومتر تحریک می‌شود محتوای DNA سلول برآورد می‌گردد (Godelle et al., 1993). محتوای DNA برآورد شده بصورت هیستوگرام نشان داده می‌شود که با مقدار DNA موجود در سلول رابطه نزدیکی دارد. اگرچه محاسبه مقدار DNA نیازمند استفاده از شاهد‌های مرجع استاندارد است. مطالعه حاضر به منظور مطالعه کاربوتایپ گونه‌ها و بررسی وضعیت پلوئیدی در میان بخشی از کلکسیون آژیلویس بانک ژن گیاهی ملی ایران که اخیراً احیا و شناسایی شده بودند انجام گرفته است.

## مواد و روش‌ها

### مواد گیاهی

در این تحقیق ۱۰۲ نمونه گیاهی از هشت گونه آژیلویس بومی ایران که در بانک ژن ملی گیاهی ایران نگهداری می‌شوند و اخیراً احیا و شناسایی شده بودند مورد بررسی قرار گرفتند (جدول ۱).

از بخش *Vertebrata* Zhuk. emend. Kihara از جمله *Cylindropyrum* (Jaub. & Spach) Zhuk. *Ae. crassa* Boiss. از جمله *Ae. cylindrica* Host است. خوشه ژنوم U شامل گونه دیپلوئید *Ae. umbellulata* Zhuk و هفت گونه پلی‌پلوئید از بخش *Aegilops* L. از جمله *Ae. neglecta* Req. ex و *Ae. columnaris* Zhuk و *Ae. triuncialis* (L.) Á. Löve و Bertol Morris است (and Sears 1967, Kimber and Feldman 1987). علاوه بر این سه ژنوم اساسی ژنوم‌های فرعی دیگری نیز در این مجموعه یافت می‌شوند که بنظر می‌رسد از ژنوم‌های اصلی مشتق شده‌اند از جمله ژنوم S که در گونه دیپلوئید *Ae. speltooides* Tausch و چهار گونه پلی‌پلوئید بخش *Sitopsis* (Jaub. & Spach) Zhuk. یافت می‌شوند (Kimber & Sears 1987). برخی از آمفی‌پلوئیدها با وجود تفاوت‌های ژنومی از چنان شباهتی با یکدیگر برخوردار هستند که تشخیص آنها تنها با استفاده از خصوصیات مورفولوژیکی مشکل بوده (رنجبر و همکاران ۱۳۸۹) و استفاده از خصوصیات سیتوژنتیکی برای تفکیک صحیح گونه‌ها از یکدیگر ضرورت دارد. همچنین بررسی کاربوتایپی نقش مهمی در تعیین قرابت گونه‌ها ایفا می‌کند و می‌تواند به عنوان اولین قدم در تجزیه فیلوژنی و تکامل گروه‌های خویشاوند، مطرح باشد که از آن جمله در گندم، برنج و گیاهان مرتعی از اهمیت بالایی برخوردار است (Sheidai et al., 1996). از طرف دیگر با توجه به حجم زیاد

جدول ۱- لیست گونه‌های مورد بررسی، محل جمع‌آوری و تعداد نمونه در هر کدام از گونه‌ها

تعداد	محل جمع‌آوری	گونه
۱۲	آذربایجان غربی، آذربایجان شرقی، فارس، ایلام	<i>Ae. collumnaris</i>
۱۵	چارمحال بختیاری، فارس، همدان، ایلام، کرمانشاه، خراسان، مرکزی، زنجان	<i>Ae. crassa</i>
۱۹	آذربایجان غربی، ایلام، کرمانشاه، خراسان، کردستان، مرکزی، زنجان	<i>Ae. cylindrica</i>
۳	هرمزگان، ایلام، کرمانشاه	<i>Ae. neglecta</i>
۳	ایلام	<i>Ae. speltoeides</i>
۱۱	آذربایجان غربی، لرستان، مازندران، زنجان	<i>Ae. tauschii</i>
۳۶	آذربایجان غربی، بوشهر، چارمحال بختیاری، فارس، ایلام، کرمانشاه، خوزستان، مازندران، زنجان	<i>Ae. triuncialis</i>
۳	آذربایجان غربی، همدان	<i>Ae. umbellulata</i>

فلوسیتومتری (ساخت کشور آلمان) آنالیز شدند. اندازه‌گیری محتوای DNA نمونه‌های مورد آزمایش با Gain ۳۷۵ انجام شد و نمونه‌هایی که دارای پیک مناسب بودند جهت مطالعات کاربوتایپی مورد استفاده قرار گرفتند (Bagwell et al., 1989). یک نمونه گندم

مطالعه سطوح پلوئیدی با استفاده از روش فلوسیتومتری تعداد دو برگ جوان را بریده و مقدار ۱۶۰۰ میکرو لیتر از بافر DAPI بر روی برگها ریخته شد و با استفاده از تیغ کاملاً خرد شدند. سوسپانسیون حاصله، از فیلتر مخصوص دستگاه عبور داده شد و بوسیله دستگاه

لوان (۱۹۶۴) و برای تعیین وضعیت تقارن کاربوتاییبی نمونه‌ها از روش استبینز (۱۹۷۱) استفاده شد.

### نتایج

ارزیابی محتوای DNA گونه‌ها با استفاده از فلوسیتومتری

پیک فلوسیتومتری برای گیاه جو دیپلوئید در دامنه‌ای بین ۵۶ تا ۷۸ و میانگین ۶۷ و برای گندم هگزاپلوئید در دامنه ۱۸۵ تا ۲۳۸ با میانگین ۲۰۹ مشاهده گردید (جدول ۲).

بنابراین سطح پلوئیدی گونه‌های *Ae. tauschii*, *Ae. speltoides*, *Ae. umbellulata* دارای پیک فلوسیتومتری در محدوده ۵۸ تا ۶۵ بودند که تقریباً یک سوم پیک گندم هگزاپلوئید و برابر جو تتراپلوئید هستند بعنوان گیاهان دیپلوئید و گونه‌های *Ae. crassa*, *Ae. triuncialis*, *Ae. columnaris*, *Ae. neglecta* دارای پیک فلوسیتومتری در محدوده ۱۰۳ تا ۱۳۸ بودند که تقریباً دوبرابر پیک جو دیپلوئید و دو سوم گندم هگزاپلوئید است بعنوان گیاهان تتراپلوئید برآورد شدند (شکل ۱). از طرف دیگر هم درون گونه‌ها هم در بین گونه‌ها تنوع زیادی برای محتوای DNA مشاهده می‌گردد که می‌تواند ناشی از تفاوت ذاتی در اندازه کروموزوم‌های گونه‌های مختلف، تنوع در اندازه کروموزوم‌ها در درون یک گونه و همچنین خطای اندازه‌گیری باشد. بنابراین برای بررسی بیشتر از هر گونه نمونه‌هایی که دارای بیشترین و کمترین پیک فلوسیتومتری بودند انتخاب و برای خصوصیات کاربوتاییبی میتوزی مطالعه شدند.

هگزاپلوئید و یک نمونه جو دیپلوئید به عنوان شاهد مورد استفاده قرار گرفتند.

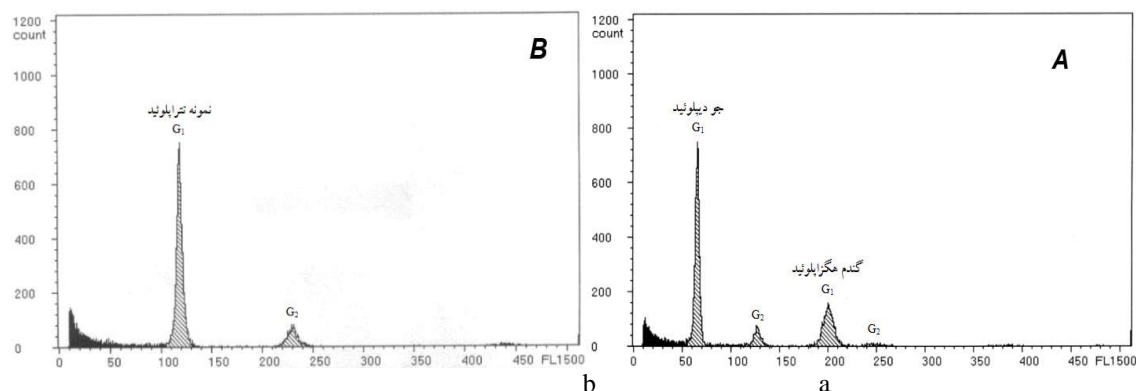
### مطالعه کاربوتاییبی میتوزی

با توجه به نتایج فلوسیتومتری از هر گونه دو نمونه که دارای بیشترین و کمترین پیک محتوای DNA در میان گونه خود بودند و در مجموع ۱۶ نمونه جهت مطالعه کاربوتاییبی انتخاب شدند. ده عدد بذر از هر نمونه منتخب جوانه دار شدند. ریشه‌ها به مدت سه ساعت در محلول ۸- هیدروکسی کینولین پیش تیمار شدند. سپس برای مدت یک هفته در محلول استو اورسین ۰/۲ درصد تثبیت شدند. برای رنگ آمیزی از محلول استوارسین ۲ درصد استفاده شد. برای هیدرولیز، ریشه‌ها در پنج میلی لیتر اسید استیک ۴۵ درصد و حرارت داده شده و سپس بر روی لام اسکواش شدند (Mujebkazi & Miranda 1985). اسلایدها در زیر میکروسکوپ بررسی شده و از صفحات متافازی مناسب با استفاده از میکروسکوپ دوربین دار زایس و بزرگنمایی ۱۰۰۰ عکس تهیه شد. از هر نمونه سه تا پنج صفحه متافازی مناسب انتخاب و با استفاده از نرم افزار Micro measure تجزیه و تحلیل شدند و خصوصیات طول کل کروموزوم (TL)، طول بازوی بلند (LA)، طول بازوی کوتاه (SA)، نسبت بازوها (AR:L/S)، ضریب تغییرات نمونه‌ها (CV)، شاخص سانترومری (CI) که بیانگر نسبت بازوی کوتاه به طول کل کروموزوم است و شاخص پراکنش کروموزومی (DI) اندازه گیری شد. در هر گونه در میان دو نمونه مورد بررسی و صفحات متافازی انتخابی از هر نمونه برای خصوصیات کروموزوم‌ها میانگین و انحراف معیار محاسبه شد (Reeves, 2001). برای نامگذاری کروموزوم‌ها از روش

جدول ۲ - میانگین و انحراف معیار پیک فلوسیتومتری برای نمونه‌های مورد بررسی، شاهد جو و شاهد گندم

گونه	پیک نمونه	نسبت پیک نمونه به پیک جو دیپلوئید	نسبت پیک نمونه به پیک گندم هگزاپلوئید
<i>Ae. tauschii</i>	۵۸/۵±۵/۷	۰/۸۹±۰/۰۹	۰/۲۸±۰/۰۳
<i>Ae. speltoides</i>	۶۴/۳±۴/۲	۰/۹۴±۰/۰۶	۰/۳±۰/۰۱
<i>Ae. umbellulata</i>	۶۳/۷±۳/۲	۰/۹۱±۰/۰۲	۰/۲۹±۰/۰۱
<i>Ae. crassa</i>	۱۳۷/۸±۱۹/۱	۲/۰۷±۰/۲۴	۰/۶۶±۰/۰۸
<i>Ae. triuncialis</i>	۱۰۳/۹±۹/۶	۱/۵۶±۰/۱۴	۰/۵±۰/۰۴
<i>Ae. columnaris</i>	۱۲۰/۷±۱۰/۶	۱/۷۹±۰/۱۵	۰/۵۷±۰/۰۵
<i>Ae. neglecta</i>	۱۲۴/۷±۶/۷	۱/۸۲±۰/۰۸	۰/۵۹±۰/۰۲





شکل ۱ - پیک فلوسیتومتری برای A- شاهد های جو دیپلوئید و گندم هگزاپلوئید، B- یک نمونه از گونه تتراپلوئید *Ae. columnaris*. محور افقی نشانگر محتوای DNA سلول ها و محور عمودی تعداد هسته های شمارش شده. G1 و G2 فاز های ۱ و ۲ تقسیم سلولی.

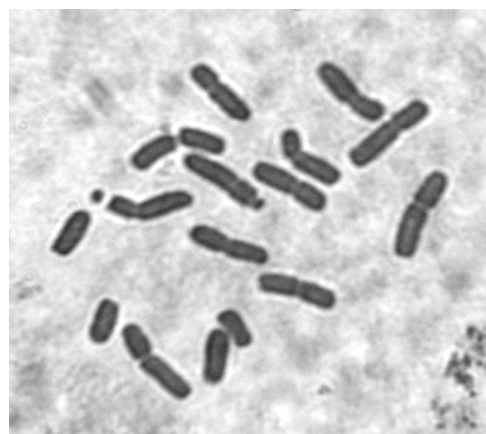
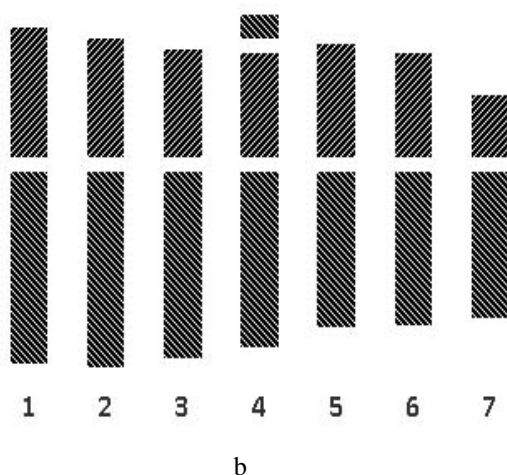
کروموزوم شماره ۴ مشاهده گردید (شکل ۲). ضریب تغییرات طول کروموزوم ها ۰/۲۰ و شاخص پراکنش کروموزومی برای این گونه ۰/۱۲ محاسبه شد. کروموزوم های این گونه به لحاظ تقارن کروموزومی در جایگاه A جدول استبیز قرار گرفتند (جدول ۱۱). کریم زاده و همکاران (۱۳۸۹) در مطالعه سه جمعیت *Ae. tauschii* همکاران هفت جفت کروموزوم متاسانتریک مشاهده کردند و آنها را در کلاس A استبیز قرار دادند. اغلب محققین این گونه را والد ژنوم D در گندم های زراعی معرفی کرده اند (Aghaei et al., 2008). آقای و همکاران (۱۳۸۶) با مشاهده متوسط ۱۲ کیاسما در هیبرید های بین این گونه و گندم زراعی نتیجه گیری کردند که این گونه دارای نزدیکترین ژنوم D به گندم زراعی است.

(Ranjbar et al., 2007) و (Bakhshi et al., 2010)

به ترتیب کلکسیون های *Ae. cylindrica* و *Ae. crassa* ایران را به روشی مشابه مورد ارزیابی قرار داده و ضمن تعیین وضعیت پلوئیدی نمونه ها موفق به یافتن نمونه های هگزاپلوئید جدید در این کلکسیون ها شدند.

#### گونه *Ae. tauschii*

در میان یازده نمونه *Ae. tauschii* مورد بررسی پیک فلوسیتومتری نمونه بین ۵۰ تا ۷۱ و میانگین پیک ۵۸ بود (جدول ۲). از میان این یازده نمونه بررسی شده نمونه دارای پیک ۵۰ از استان مازندران و نمونه دارای پیک ۷۱ از آذربایجان غربی برای کاریوتایپ میتوزی مطالعه شدند. هر دو نمونه دیپلوئید با  $N=2X=142$  کروموزوم و فرمول کروموزومی  $M+2SM5$  بودند (جدول ۳). یک میکروستلایت در انتهای بازوی کوتاه



شکل ۲ - a تصویر کروموزوم های متافازی میتوز و b: آیدیوگرام کروموزوم ها در نمونه های بررسی شده از گونه *Ae. tauschii*

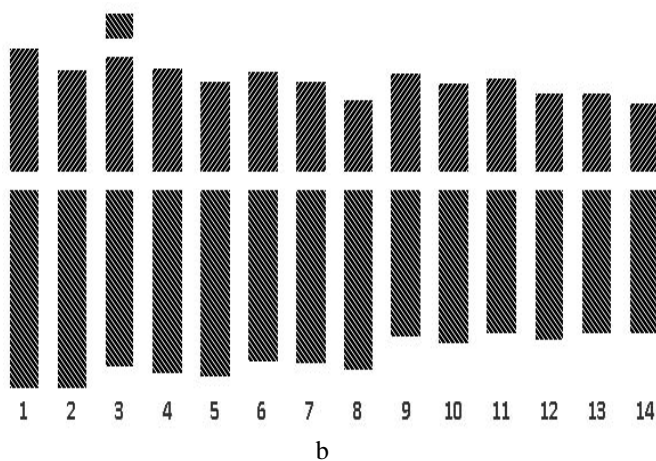
جدول ۳ - میانگین ویژگی‌های مورفولوژیکی کروموزوم‌ها در نمونه‌های بررسی شده از گونه *Ae. tauschii*

شماره	نوع کروموزوم	طول کل	طول بازوی بلند	طول بازوی کوتاه	نسبت طول بازوها	شاخص سانترومیری
۱	M	۳/۸۵±۲۲/۱۴	۱/۷۱±۱۳/۲۴	۲/۹۵±۸/۹	۱/۵	۰/۴۰
۲	M	۳/۹۴±۲۱/۵۷	۳/۳۹±۱۳/۳۷	۱/۱۳±۸/۲	۱/۶	۰/۳۸
۳	SM	۳/۷۴±۲۰/۲۵	۱/۷۷±۱۲/۷۷	۲/۶۳±۷/۴۹	۱/۷	۰/۳۷
۴	M	۲/۸۸±۱۹/۲۶	۳/۰۵±۱۲	۱/۱۵±۷/۲۷	۱/۶	۰/۳۸
۵	M	۲/۹±۱۸/۴۹	۱/۶۴±۱۰/۶۵	۱/۴۸±۷/۸۴	۱/۴	۰/۴۲
۶	M	۲/۷۸±۱۷/۸۶	۲/۹۹±۱۰/۵۸	۱/۶۹±۷/۲۸	۱/۴	۰/۴۱
۷	SM	۰/۲۳±۱۴/۳۴	۱/۱۹±۱۰	۱/۲۲±۴/۳۴	۲/۳	۰/۳

مشاهده کردند. آنها نمونه‌های این گونه را در کلاسهای ۱A تا ۱B استبیز قرار داده‌اند. (Bakhshi et al., 2010) در مطالعه کلکسیون *Ae. cylindrica* ایران پیک فلوسیتومتری بین ۹۶ تا ۱۳۸ با میانگین ۱۱۸ را برای نمونه‌های این کلکسیون مشاهده کردند. آنها دریافتند که نمونه‌های قرار گرفته در این دامنه پیک فلوسیتومتری تتراپلوئید با ۱۴ جفت کروموزوم بودند که شامل ۴-۱ جفت کروموزوم متاسانتریک، ۱۲-۶ جفت ساب متاسانتریک و ۵-۱ جفت کروموزوم ساب تلوسنتریک بودند. این گونه دارای ژنوم CD است که ژنوم D را از گونه *Ae. tauschii* و ژنوم C را از گونه *Ae. caudata* به ارث برده است (Gandhi et al., 2005). آقایی و همکاران (۱۳۸۶) با مشاهده میانگین حدود ۷ کیاسما در هیبریدهای بین گونه‌ای این گونه و گندم زراعی نشان دادند که شباهت زیادی بین ژنوم D این گونه و گندم زراعی وجود دارد.

### گونه *Ae. cylindrica*

نوزده نمونه *Ae. cylindrica* مورد بررسی پیک فلوسیتومتری بین ۹۱ تا ۱۲۵ با میانگین ۱۰۵ نشان می‌دادند (جدول ۲). نمونه‌های دارای پیک ۹۱ و ۱۲۵ از آذربایجان غربی برای کاربوتایپ میتوزی بررسی شدند. بررسی کاربوتایپ میتوزی نمونه‌ها نشان داد که نمونه‌ها تتراپلوئید و شامل ۴ جفت کروموزوم متاسانتریک، ۱۰ جفت کروموزوم ساب متاسانتریک می‌باشد (جدول ۴). شاخص سانترومیری ۰/۰۷ و ضریب تغییرات برای طول کروموزوم‌ها ۰/۱۳ بود. یک جفت میکروستلایت نیز در انتهای بازوی کوتاه کروموزوم‌های شماره ۳ مشاهده گردید (شکل ۳). شاخص پراکنش کروموزومی برای این گونه به میزان ۰/۵۵ و جایگاه آن در جدول استبیز ۱A است (جدول ۱). کریم زاده و همکاران (۱۳۸۹) در بررسی پنج نمونه از این گونه، ۸ تا ۱۴ جفت کروموزوم متاسانتریک و تا ۶ جفت کروموزوم ساب متاسانتریک

شکل ۳ - a تصویر کروموزوم‌های متافازی میتوز و b: آیدیوگرام کروموزوم‌ها در نمونه‌های بررسی شده از گونه *Ae. cylindrica*

جدول ۴ - میانگین ویژگی های مورفولوژیکی کروموزوم ها در نمونه های بررسی شده از گونه *Ae. cylindrica*

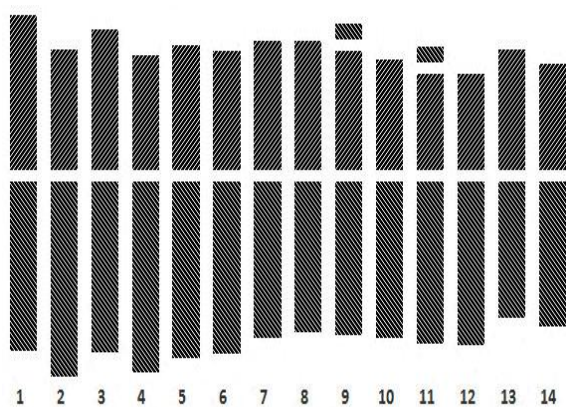
شماره	نوع کروموزوم	طول کل	طول بازوی بلند	طول بازوی کوتاه	نسبت طول بازوها	شاخص سانترومیری
۱	M	۰/۹۹±۱۸/۸۹	۲/۰۹±۱۱/۷	۱/۶۵±۷/۲	۱/۶	۰/۳۸
۲	SM	۱/۲±۱۷/۶۱	۲/۶±۱۱/۶۵	۱/۷۴±۵/۹۶	۱/۹	۰/۳۴
۳	M	۱/۰۱±۱۷/۱۳	۱/۷۴±۱۰/۳۷	۱/۱۵±۶/۷۶	۱/۵	۰/۳۹
۴	SM	۱/۱۳±۱۶/۷۵	۱/۵۱±۱۰/۷۴	۱/۹±۶/۰۱	۱/۸	۰/۳۶
۵	SM	۱/۰۱±۱۶/۱۴	۱/۲۹±۱۰/۹۳	۱/۲۸±۵/۲۲	۲/۱	۰/۳۲
۶	SM	۰/۹±۱۵/۸۹	۱/۰۲±۱۰/۰۳	۱/۱۱±۵/۸۶	۱/۷	۰/۳۷
۷	SM	۰/۹۱±۱۵/۳۶	۲/۱۳±۱۰/۱۲	۱/۶۴±۵/۲۴	۱/۹	۰/۳۴
۸	SM	۰/۶۶±۱۴/۷۲	۱/۷۶±۱۰/۵۴	۱/۳۲±۴/۱۸	۲/۵	۰/۲۸
۹	M	۰/۷۱±۱۴/۴۴	۱/۲۳±۸/۶۸	۱/۱۲±۵/۷۶	۱/۵	۰/۴
۱۰	SM	۰/۶۹±۱۴/۰۷	۱/۳±۹/۰۱	۱/۱۷±۵/۰۷	۱/۸	۰/۳۶
۱۱	M	۰/۶۸±۱۳/۸۱	۰/۶۸±۸/۴۱	۰/۹۳±۵/۴	۱/۶	۰/۳۹
۱۲	SM	۰/۶۷±۱۳/۳۷	۱/۶۲±۸/۸	۱/۱±۴/۵۷	۱/۹	۰/۳۴
۱۳	SM	۰/۶۹±۱۳/۱۱	۰/۸۹±۸/۴۸	۱/۰۹±۴/۶۳	۱/۸	۰/۳۵
۱۴	SM	۰/۴۴±۱۲/۴۸	۱/۱۹±۸/۴۸	۱/۰۲±۴	۲/۱	۰/۳۲

**گونه *Ae. crassa***

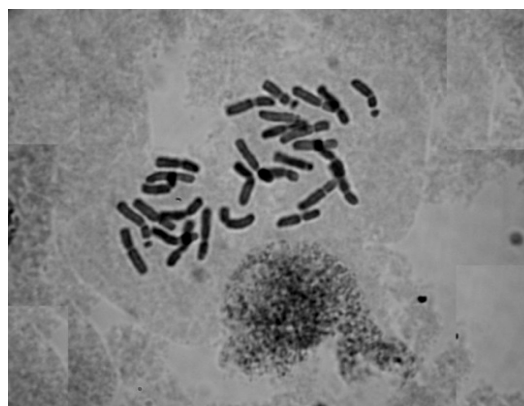
در این تحقیق ۱۵ نمونه *Ae. crassa* مورد بررسی قرار گرفتند. نمونه های مورد بررسی پیک فلوسیتومتری بین ۱۲۳ تا ۲۰۱ نشان دادند که دامنه بسیار وسیعی را شامل می گردد. اما میانگین پیک فلوسیتومتری برای این گونه ۱۳۸ بود (جدول ۲). نمونه های دارای پیک ۱۲۳ از زنجان و ۲۰۱ از خراسان برای وضعیت کاریوتایپ میتوزی بررسی شدند. نمونه زنجان یک نمونه تتراپلوئید با یازده جفت کروموزوم متاسانتریک و سه جفت کروموزوم ساب متاسانتریک بود. اما نمونه خراسان یک نمونه هگزاپلوئید با ۱۸ جفت کروموزوم متاسانتریک و سه جفت کروموزوم ساب متاسانتریک بود، و به همین دلیل پیک فلوسیتومتری در این نمونه بیشتر از سایر نمونه های این گونه بود. (Naghavi et al., 2013)

نمونه های مشابهی را در کلکسیون *Ae. crassa* ایران شناسایی کردند که پیک فلوسیتومتری در ناحیه ۱۹۵ نشان می دادند. آنها نتیجه گرفته اند که این نمونه ها سیتوتیپ هگزاپلوئید از گونه *Ae. crassa* هستند. با اینحال در زمان انجام این تحقیق تردیدهایی در مورد شناسایی گیاهشناسی این نمونه وجود داشته و احتمال تعلق این نمونه ها به گونه *Ae. vavilovi* نیز مطرح بود

بنابراین در ادامه از نمونه های مورد بررسی حذف گردید. نمونه تتراپلوئید زنجان دارای شاخص سانترومیری ۰/۱۰ و ضریب تغییرات طول کروموزوم ها ۰/۱۴ بود (جدول). این نمونه دارای دو ماهوارک بر روی بازوهای کوتاه کروموزوم های ۹ و یازده بود. شاخص پراکنش کروموزومی برای آن ۰/۷۴ و در جایگاه ۱A از جدول استینیز قرار می گرفت. در یک تحقیق مشابه بر روی نمونه های *Ae. crassa* تتراپلوئید ۱۲ جفت کروموزوم متاسانتریک و دو جفت کروموزوم ساب متاسانتریک مشاهده کردند. آنها یک جفت ماهوارک بر روی کروموزوم های متاسانتریک و یک جفت ماهوارک بر روی کروموزوم های ساب متاسانتریک یافته اند (رنجبر و همکاران، ۱۳۸۹). (Hatami-Maleki 2010) در بررسی کاریوتایپ ۱۰ نمونه *Ae. crassa* ایران مشاهده کردند که همه نمونه ها تتراپلوئید با ۱۳ جفت کروموزوم متاسانتریک و یک جفت کروموزوم ساب متاسانتریک بودند. آنها یک جفت ماهوارک بر روی جفت کروموزوم شماره ۹ گزارش کرده اند. سیتوتیپ تتراپلوئید این گونه دارای ژنوم DM بوده و ژنوم D خود را از گونه *Ae. tauschii* به ارث برده است (Kimber & Feldman., 1987).



B



a

شکل ۴ - a تصویر کروموزوم های متافازی میتوز و b: آیدیوگرام کروموزوم‌ها در نمونه‌های بررسی شده از گونه *Ae. crassa*

جدول ۵ - میانگین ویژگی های مورفولوژیکی کروموزوم ها در نمونه‌های بررسی شده از گونه *Ae. crassa*

شماره	نوع	طول کل	طول بازوی بلند	طول بازوی کوتاه	نسبت طول بازوها	شاخص سانترومیری
۱	M	۰/۷۸±۲۹/۸۴	۱/۰۲±۱۵/۵۸	۰/۷±۱۴/۲۶	۱/۱	۰/۴۸
۲	M	۰/۸۷±۲۸/۹۹	۰/۲۳±۱۷/۹۵	۰/۹۶±۱۱/۰۵	۱/۶	۰/۳۸
۳	M	۰/۵۲±۲۸/۵۸	۰/۵۹±۱۵/۶۹	۰/۷۵±۱۲/۸۸	۱/۲	۰/۴۵
۴	SM	۰/۸۲±۲۸/۰۲	۳/۶±۱۷/۵۲	۳/۵۱±۱۰/۴۹	۱/۷	۰/۳۷
۵	M	۰/۱۸±۲۷/۷۶	۱/۱±۱۶/۲۲	۱/۰۹±۱۱/۵۴	۱/۴	۰/۴۲
۶	M	۰/۴۶±۲۶/۸۷	۲/۴۲±۱۵/۸۶	۲/۷۳±۱۱/۰۱	۱/۴	۰/۴۱
۷	M	۰/۵±۲۶/۳۳	۰/۶۸±۱۴/۴۵	۱/۰۸±۱۱/۸۸	۱/۲	۰/۴۵
۸	M	۰/۴۱±۲۵/۷۴	۰/۳±۱۳/۸۵	۰/۵۶±۱۱/۸۸	۱/۲	۰/۴۶
۹	M	۰/۱۷±۲۵/۰۸	۰/۹۹±۱۴/۱	۱/۱۵±۱۰/۹۹	۱/۳	۰/۴۴
۱۰	M	۰/۲۶±۲۴/۶۴	۲/۲۱±۱۴/۴۷	۲/۳۹±۱۰/۱۸	۱/۴	۰/۴۱
۱۱	SM	۱/۲۴±۲۳/۸	۲/۲۵±۱۴/۹۳	۲/۷۹±۸/۸۸	۱/۷	۰/۳۷
۱۲	SM	۰/۸۵±۲۳/۹۶	۰/۸۷±۱۵/۱۲	۰/۴۹±۸/۸۴	۱/۷	۰/۳۷
۱۳	M	۰/۸±۲۳/۶۸	۰/۶۲±۱۲/۶۲	۰/۵۶±۱۱/۰۶	۱/۱	۰/۴۷
۱۴	M	۰/۱۴±۲۳/۰۳	۱/۶۲±۱۳/۳۳	۱/۵۷±۹/۷	۱/۴	۰/۴۲

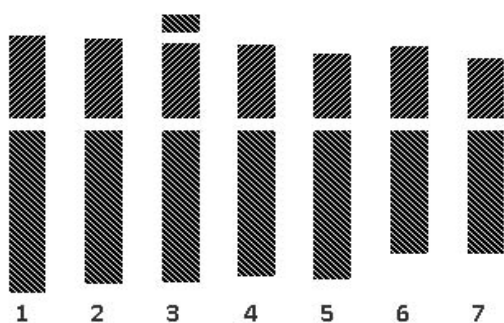
ضریب تغییرات کروموزومی ۰/۲۱ بود. یک جفت ماهوارک نیز در انتهای بازوهای کوتاه کروموزوم شماره ۳ مشاهده گردید(شکل ۵). شاخص پراکنش کروموزومی برای این گونه به میزان ۰/۵۱ و برای تقارن کروموزومی در جایگاه ۱A جدول استبیزین قرار می گرفت. (جدول ۱۱). حسینی و همکاران (۱۳۹۱) پیک فلوسیتومتری برای نمونه‌های گونه *Ae. umbellulata* را بین ۶۵ تا ۱۰۰ گزارش کرده‌اند که در حدود ۰/۳ پیک

#### گونه *Ae. umbellulata*

سه نمونه از این گونه در تحقیق موجود بودند که پیک فلوسیتومتری آنها دامنه ای بین ۶۰ تا ۶۶ را نشان می داد (جدول ۲). نمونه های دارای پیک ۶۰ از همدان و ۶۶ از آذربایجان غربی برای بررسی کاریوتایپ میتوزی مطالعه شدند. نمونه های مورد بررسی این گونه دیپلوئید و شامل هفت جفت کروموزوم ساب متاسانتریک بود(جدول ۶). شاخص سانترومیری برای این گونه ۰/۱۰ و

خود را از این گونه به ارث برده اند (Badaeva, 2004).

شاهد گندم هگزاپلوئید بود. این گونه دارای ژنوم U است، و سایر گونه های پلی پلوئید آزیلوپس ژنوم U



B



a

شکل ۵ - تصویر کروموزوم های متافازی میتوز و b: آیدیوگرام کروموزومها در نمونه های بررسی شده از گونه *Ae. umbellulata*

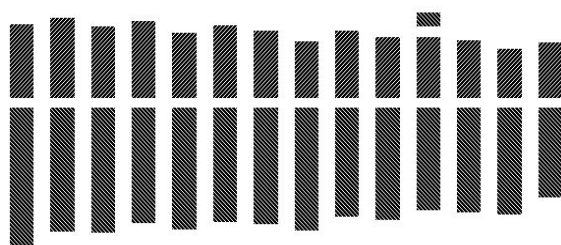
جدول ۶ - میانگین ویژگی های مورفولوژیکی کروموزومها در نمونه های بررسی شده از گونه *Ae. umbellulata*

شماره	نوع کروموزوم	طول کل	طول بازوی بلند	طول بازوی کوتاه	نسبت طول بازوها	شاخص سانترومری
۱	SM	۳/۶±۲۰/۲۹	۳/۳۷±۱۳/۴	۱/۴۲±۶/۸۹	۱/۹۵	۰/۳۴
۲	SM	۳/۵۳±۱۹/۲۸	۲/۶±۱۲/۶۳	۲/۲۵±۶/۶۴	۱/۹۰	۰/۳۴
۳	SM	۳/۶۳±۱۸/۷۵	۳/۳±۱۲/۵۶	۲/۰۴±۶/۲	۲/۲۱	۰/۳۳
۴	SM	۳/۵۴±۱۸/۱۸	۲/۱۷±۱۲/۰۷	۱/۸±۶/۱۱	۲/۰۳	۰/۳۴
۵	SM	۳/۵۴±۱۷/۵۹	۲/۷۷±۱۲/۲۷	۱/۶۲±۵/۳۲	۱/۹۸	۰/۳
۶	SM	۳/۱۶±۱۶/۱۶	۳/۲۵±۱۰/۱۸	۲/۲۵±۵/۹۹	۲/۳۱	۰/۳۷
۷	SM	۳/۲۳±۱۵/۲۸	۳/۱۳±۱۰/۲۱	۱/۷±۵/۰۷	۱/۷۰	۰/۳۳

این گونه ۰/۰۸ و ضریب تغییرات کروموزومی ۰/۱۵ بود. یک جفت ماهوارک در انتهای بازوی کوتاه کروموزوم شماره ۱۱ مشاهده گردید (شکل ۶). شاخص پراکنش کروموزومی برای این گونه ۰/۵۷ و به لحاظ تقارن کروموزومی در جایگاه ۱A جدول استبیز قرار می گرفت (جدول ۱۱). این گونه دارای ژنوم UM است، و ژنوم U خود را از گونه *Ae. umbellulata* به ارث برده است (Damania, 1997).

**گونه *Ae. columnaris***

در میان ۱۲ نمونه مورد بررسی از گونه *Ae. columnaris* پیک فلوسیتومتری بین ۹۸ تا ۱۳۸ با میانگین ۱۲۰ بود (جدول ۲). نمونه های دارای پیک ۱۲۷ و ۱۳۸ از آذربایجان غربی برای خصوصیات کاریوتاییبی بررسی شدند. نمونه های این گونه تتراپلوئید و شامل سه جفت کروموزوم متاسانتریک، ۱۱ جفت کروموزوم ساب متاسانتریک بودند (جدول ۷). شاخص سانترومری برای



b



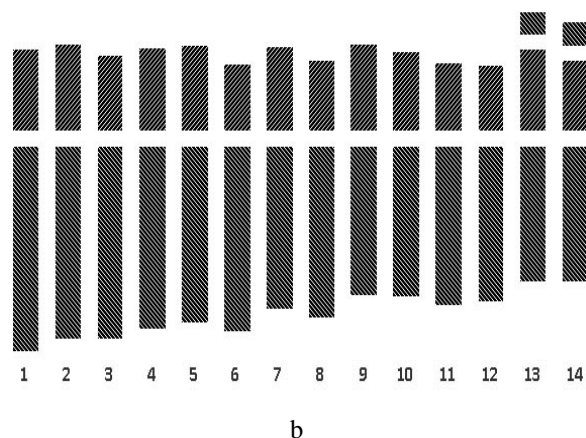
a

شکل ۶ - تصویر کروموزوم های متافازی میتوز و b: آیدیوگرام کروموزومها در نمونه های بررسی شده از گونه *Ae. columnaris*

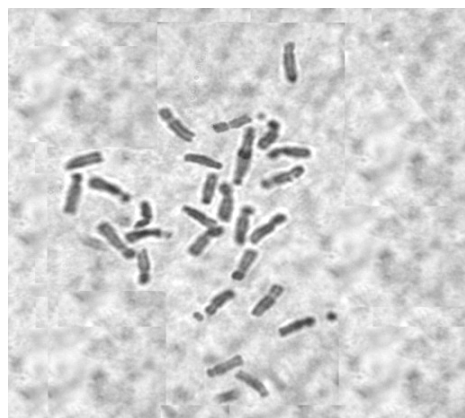
جدول ۷ - میانگین ویژگی‌های مورفولوژیکی کروموزوم‌ها در نمونه‌های بررسی شده از گونه *Ae. columnaris*

شماره	نوع کروموزوم	طول کل	طول بازوی بلند	طول بازوی کوتاه	نسبت طول بازوها	شاخص سانترومیری
۱	SM	۱/۹۵±۲۲/۴	۱/۹۴±۱۴/۶۷	۱/۳۱±۷/۷۳	۱/۹۰	۰/۳۵
۲	M	۲/۷۷±۲۱/۶۸	۲/۳±۱۳/۱۴	۱/۲±۸/۵۴	۱/۵۴	۰/۳۹
۳	SM	۲/۱۴±۲۰/۸۹	۱/۸۶±۱۳/۳	۰/۹۴±۷/۵۹	۱/۷۵	۰/۳۶
۴	M	۲/۲۸±۲۰/۳۹	۱/۳۲±۱۲/۲۵	۱/۴۳±۸/۱۳	۱/۵۱	۰/۴
۵	SM	۱/۹۷±۱۹/۸۴	۱/۴۵±۱۳	۱/۹۸±۶/۸۴	۱/۹۰	۰/۳۴
۶	M	۲/۳±۱۹/۷۴	۱/۷۶±۱۲/۰۸	۱/۱۳±۷/۶۶	۱/۵۸	۰/۳۹
۷	SM	۲/۱۴±۱۹/۳۹	۱/۷۳±۱۲/۳۳	۱/۰۸±۷/۰۶	۱/۷۵	۰/۳۶
۸	SM	۲/۰۵±۱۹/۰۸	۱/۸۲±۱۳/۰۵	۱/۰۲±۶/۰۳	۲/۱۷	۰/۳۲
۹	SM	۲/۱۳±۱۸/۶۷	۱/۱۲±۱۱/۵۸	۲/۰۴±۷/۱	۱/۶۳	۰/۳۷
۱۰	SM	۱/۹۱±۱۸/۳۵	۲/۰۳±۱۱/۹۲	۰/۵۳±۶/۴۴	۱/۸۵	۰/۳۶
۱۱	SM	۱/۹۱±۱۷/۴۷	۱/۵۵±۱۰/۹۵	۱/۳۴±۶/۵۳	۱/۶۸	۰/۳۷
۱۲	SM	۱/۹۶±۱۷/۱۵	۱/۷۳±۱۱/۰۴	۱/۲۳±۶/۱۱	۱/۸۱	۰/۳۱
۱۳	SM	۱/۷۱±۱۶/۴۶	۲/۵۷±۱۱/۲۹	۱/۹۱±۵/۱۷	۲/۱۸	۰/۳۸
۱۴	SM	۲/۴۱±۱۵/۳۷	۲±۹/۵۲	۱/۴۸±۵/۸۵	۱/۷۶	۰/۳۶

مشاهده گردید (شکل ۷). شاخص پراکنش کروموزومی برای این گونه به میزان ۰/۴۶ برای تقارن کروموزومی در جایگاه ۲A جدول استبیز قرار گرفت که دارای نامتقارن ترین کروموزوم‌ها در میان گونه‌های مورد بررسی است (جدول ۱۱). کریم زاده و همکاران (۱۳۸۹) در بررسی شش نمونه از این گونه، بین ۴ تا ۱۳ جفت کروموزوم متاسانتریک و ۱ تا ۱۰ جفت کروموزوم ساب متاسانتریک مشاهده کرده و نمونه‌ها مطالعه شده را در کلاس‌های ۱A تا ۱B استبیز گروه‌بندی کردند. این گونه دارای ژنوم UC می‌باشد، و ژنوم U خود را از گونه *Ae. umbellulata* به ارث برده است (Badaeva et al., 2004).



**گونه *Ae. triuncialis***  
سی و شش نمونه *Ae. triuncialis* مورد بررسی پیک فلوسیتومتری بین ۸۵ تا ۱۳۶ با میانگین ۱۰۳ نشان دادند (جدول ۲). نمونه‌های دارای پیک ۸۵ و ۱۲۶ از آذربایجان غربی برای بررسی کاربوتاییبی انتخاب شدند. نمونه‌های بررسی شده این گونه تتراپلوئید و شامل سیزده جفت کروموزوم ساب متاسانتریک و یک جفت کروموزوم ساب تلوسانتریک بود (جدول ۸). شاخص سانترومیری برای این گونه ۰/۰۶ و ضریب تغییرات طول کروموزوم‌ها ۰/۱۳ برآورد گردید. دو جفت ماهوارک بر روی بازوهای کوتاه کروموزوم‌های شماره ۱۳ و ۱۴

شکل ۷ - a تصویر کروموزوم‌های متافازی میتوز و b: آیدیوگرام کروموزوم‌ها در نمونه‌های بررسی شده از گونه *Ae. triuncialis*

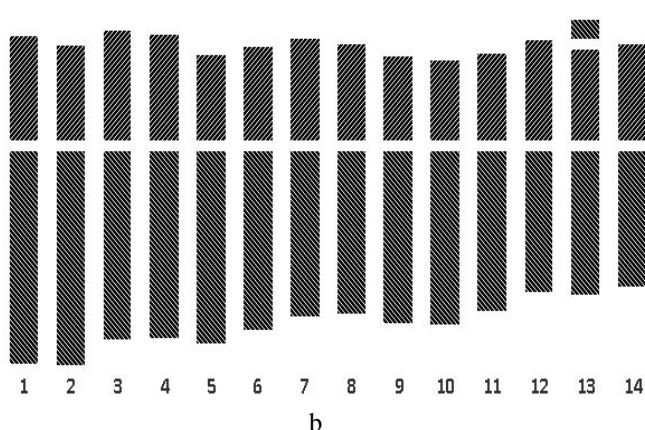
جدول ۸ - میانگین ویژگی های مورفولوژیکی کروموزوم ها در نمونه های بررسی شده از گونه *Ae. triuncialis*

شماره	نوع	طول کل	طول بازوی بلند	طول بازوی کوتاه	نسبت طول بازوها	شاخص سانترومری
۱	SM	۱/۴۵±۱۸/۵۸	۲/۴۵±۱۳/۳	۱/۸±۵/۲۸	۲/۵۲	۰/۲۹
۲	SM	۱/۶۳±۱۸/۱۴	۲/۱۵±۱۲/۵۴	۱±۵/۶	۲/۲۴	۰/۳۱
۳	SM	۱/۸±۱۷/۴۲	۱/۴۵±۱۲/۵۳	۱/۷±۴/۸۹	۲/۵۶	۰/۲۸
۴	SM	۱/۷۳±۱۷/۲۸	۱/۹۵±۱۱/۹۱	۱/۰۶±۵/۳۷	۲/۲۲	۰/۳۱
۵	SM	۱/۷±۱۶/۹۵	۱/۷۲±۱۱/۴۳	۰/۹±۵/۵۲	۲/۰۷	۰/۳۳
۶	ST	۱/۵۲±۱۶/۳۳	۱/۴۴±۱۲/۰۹	۱/۴۵±۴/۲۴	۲/۸۵	۰/۲۶
۷	SM	۱/۴۳±۱۶/۰۹	۱/۷۷±۱۰/۶۱	۱/۲۲±۵/۴۸	۱/۹۴	۰/۳۴
۸	SM	۱/۴±۱۵/۷	۱/۶۷±۱۱/۱۳	۰/۹۶±۴/۵۷	۲/۴۳	۰/۲۹
۹	SM	۱/۴۶±۱۵/۲۹	۱/۴±۹/۶۶	۱/۴۳±۵/۶۳	۱/۷۲	۰/۳۷
۱۰	SM	۱/۲۷±۱۴/۸۹	۱/۸۱±۹/۸	۱/۲۹±۵/۰۹	۱/۹۲	۰/۳۴
۱۱	SM	۱/۲۵±۱۴/۷۹	۱/۰۵±۱۰/۳۹	۰/۸۳±۴/۴۱	۲/۳۶	۰/۳
۱۲	SM	۱/۰۸±۱۴/۳۵	۱/۲۵±۱۰/۱۵	۱/۵±۴/۲	۲/۴۲	۰/۲۹
۱۳	SM	۱/۰۱±۱۴	۱/۲۲±۸/۷۵	۰/۸۵±۵/۲۵	۱/۶۶	۰/۳۸
۱۴	SM	۱/۱±۱۳/۲۹	۱/۳±۸/۷۴	۱/۱۱±۴/۵۴	۱/۹۳	۰/۳۴

**گونه *Ae. neglecta***

سه نمونه گونه *Ae. neglecta* پیک فلوسیتومتری بین ۱۱۷ تا ۱۲۹ با میانگین ۱۲۴ نشان دادند (جدول ۲). نمونه های دارای پیک ۱۱۷ از ایلام و ۱۲۹ از کرمانشاه برای خصوصیات کاربوتایی بررسی شدند. نمونه های این گونه تتراپلوئید و شامل دو جفت کروموزوم متاسانتریک، ۱۲ جفت کروموزوم ساب متاسانتریک است (جدول ۹). شاخص سانترومری ۰/۰۷ و ضریب تغییرات برای طول

کروموزومها ۰/۱۳ بود. یک جفت ماهوارک بر روی بازوی کوتاه کروموزوم شماره ۱۳ مشاهده گردید (شکل ۸). شاخص پراکنش کروموزومی برای این گونه به میزان ۰/۵۴ و به لحاظ تقارن کروموزومی در جایگاه ۱A جدول استبیز قرار گرفته است (جدول ۱۱). این گونه دارای ژنوم UM بوده و ژنوم U را از گونه *Ae. umbellulata* به ارث برده است (Badaeva et al., 2004).



شکل ۸ - a تصویر کروموزوم های متافازی میتوز و b: آیدیوگرام کروموزومها در نمونه های بررسی شده از گونه *Ae. neglecta*

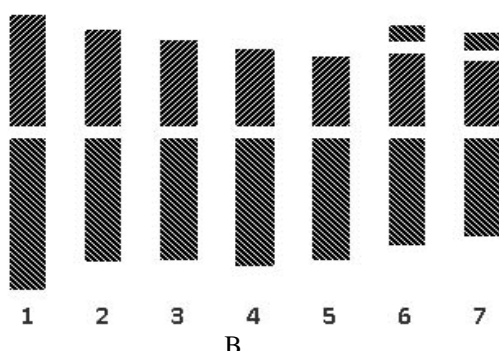
جدول ۹ - میانگین ویژگی های مورفولوژیکی کروموزوم ها در نمونه‌های بررسی شده از گونه *Ae. neglecta*

شماره	نوع کروموزوم	طول کل	طول بازوی بلند	طول بازوی کوتاه	نسبت طول بازوها	شاخص سانتومتری
۱	SM	۲/۱۵±۲۶/۴۹	۲/۳۷±۱۷/۸	۲/۷±۸/۶۹	۲/۰۵	۰/۳۳
۲	SM	۲/۴۳±۲۵/۷۸	۳/۴۴±۱۷/۹۳	۱/۵±۷/۸۵	۲/۲۸	۰/۳۰
۳	SM	۲/۴۳±۲۵/۰۲	۱/۳۲±۱۵/۸	۲/۴۸±۹/۲۲	۱/۷۱	۰/۳۷
۴	SM	۲/۸۱±۲۴/۳۹	۳/۱۶±۱۵/۶۲	۱/۹۷±۸/۷۸	۱/۷۸	۰/۳۶
۵	SM	۱/۹±۲۳/۲	۱/۲۲±۱۶/۱۲	۱/۴۹±۷/۰۹	۲/۲۷	۰/۳۱
۶	SM	۱/۵۱±۲۲/۶۶	۱/۸۲±۱۴/۹۵	۲/۱۸±۷/۷۱	۱/۹۴	۰/۳۴
۷	SM	۱/۲۳±۲۲/۲۸	۲/۷۶±۱۳/۸۵	۱/۹۳±۸/۴۳	۱/۶۴	۰/۳۸
۸	SM	۱/۴۴±۲۱/۶۳	۲/۶۵±۱۳/۵۹	۱/۹۲±۸/۰۴	۱/۶۹	۰/۳۷
۹	SM	۱/۴۳±۲۱/۲۶	۲/۰۳±۱۴/۲۹	۲/۳۶±۶/۹۶	۲/۰۵	۰/۳۳
۱۰	SM	۱/۶۸±۲۱/۰۱	۲/۴۲±۱۴/۴۸	۱/۵۶±۶/۵۳	۲/۲۲	۰/۳۱
۱۱	SM	۱/۷±۲۰/۵۵	۱/۹۳±۱۳/۳۶	۲/۲۹±۷/۱۹	۱/۸۶	۰/۳۵
۱۲	M	۱/۶۴±۲۰/۰۸	۲/۰۸±۱۱/۷۵	۱/۱۴±۸/۳۲	۱/۴۱	۰/۴۱
۱۳	SM	۱/۸۴±۱۹/۴۶	۱/۹۵±۱۱/۹۹	۱/۶۵±۷/۴۷	۱/۶۰	۰/۳۸
۱۴	M	۱/۷۶±۱۹/۲۱	۱/۵±۱۱/۲۲	۱/۴۳±۷/۹۸	۱/۴۱	۰/۴۲

برای طول کروموزوم‌ها ۰/۳۰ بود. دو جفت ماهوارک بر روی بازوهای کوتاه کروموزوم های شماره ۶ و ۷ نیز مشاهده گردید(شکل ۹). شاخص پراکنش کروموزومی برای این گونه به میزان ۰/۶۸ از نظر تقارن کروموزومی در جایگاه ۱A جدول استبیینز قرار می‌گیرد (جدول ۱۱). ژنوم این گونه S می‌باشد که به عقیده بسیاری از دانشمندان منشأ احتمالی ژنوم B گندم زراعی است (Multani et al., 1998).

### گونه *Ae. speltoides*

سه نمونه *Ae. speltoides* مورد بررسی از ایلام جمع‌آوری شده و پیک فلوسیتومتری بین ۶۱ تا ۶۹ نشان دادند (جدول ۲). نمونه‌های دارای پیک ۶۱ و ۶۹ برای خصوصیات کاربوتاییبی بررسی شدند. این نمونه‌ها دیپلوئید و شامل چهار جفت کروموزوم متاساتریک و سه جفت کروموزوم ساب متاساتریک بودند (جدول ۱۰). شاخص سانتومتری در این گونه ۰/۲۱ و ضریب تغییرات

شکل ۹ - a تصویر کروموزوم های متافازی میتوز و b: آیدیوگرام کروموزوم‌ها در نمونه‌های بررسی شده از گونه *Ae. speltoides*جدول ۱۰ - میانگین ویژگی های مورفولوژیکی کروموزوم ها در نمونه‌های بررسی شده از گونه *Ae. speltoides*

شماره	نوع کروموزوم	طول کل	طول بازوی بلند	طول بازوی کوتاه	نسبت طول بازوها	شاخص سانتومتری
۱	M	۶/۳۲±۲۲/۲۴	۴/۴۲±۱۲/۸۳	۲/۲۶±۹/۴۱	۱/۳۶	۰/۴۲
۲	M	۵/۱۴±۱۸/۷۱	۲/۷۳±۱۰/۵	۲/۶۵±۸/۲۱	۱/۲۸	۰/۴۴
۳	M	۴/۷۶±۱۷/۶	۳/۰۵±۱۰/۳	۱/۷۷±۷/۳	۱/۴۱	۰/۴۱
۴	SM	۴/۹±۱۷/۴	۱/۹۹±۱۰/۷۷	۳/۴۵±۶/۶۳	۱/۶۳	۰/۳۸
۵	SM	۳/۷۲±۱۶/۱۸	۲/۱۶±۱۰/۲۷	۱/۹۹±۵/۹	۱/۷۴	۰/۳۶
۶	SM	۴/۳۲±۱۵/۱۸	۱/۴۲±۸/۹۸	۳/۱۹±۶/۲	۱/۴۵	۰/۴۱
۷	M	۳/۳۸±۱۳/۷۱	۱/۹۴±۸/۲۴	۱/۹۶±۵/۴۷	۱/۵۱	۰/۴۰

انتظار برای گندم های دیپلوئید و تتراپلوئید نشان دادند. و نتایج مطالعه کاربوتایپ ها نیز وضعیت پلوئیدی گونه‌ها را تأیید کرد. ولی دامنه وسیع پیک فلوسیتومتری در میان نمونه‌های مورد بررسی با سطح پلوئیدی مشابه

### بحث و نتیجه گیری

#### بررسی کاربوتاییبی گونه‌ها

مورفوتیپ های مورد مطالعه از هر هشت گونه مورد بررسی ، شاخص فلوسیتومتری را در محدوده مورد



ناشناخته مانده است. به لحاظ تقارن کروموزومی گونه‌های مورد بررسی از بیشترین تقارن کروموزومی برخوردار بوده و بجز گونه *Ae. triuncialis* بقیه در کلاس ۱A جدول استبینز قرار گرفته اند. تفاوت‌های درون گونه‌ای هم برای خصوصیات کاریوتاییپی و هم برای محتوای DNA مشاهده می‌گردید اما به لحاظ اندک بودن تعداد نمونه‌های مورد بررسی برای برخی از نمونه‌ها تأیید وجود تفاوت‌های معنی دار در درون گونه‌ها مستلزم بررسی تعداد بیشتری نمونه از هر گونه است.

نشان داد که ابزار فلوسیتومتری با استفاده از رنگ DAPI بیشتر می‌تواند برای تعیین سطوح پلوئیدی و نه ناهنجاری‌های کروموزومی بکار برده شود. هر چند وجود گونه‌ها و سیتوتیپ‌های متفاوت با موفولوژی مشابه نیاز به کاربرد یک روش سریع برای تعیین سطح پلوئیدی نمونه‌ها را ایجاب می‌نماید. بیشترین تغییرات برای گرادینت سانترومری و پراکنش کروموزومی در نمونه‌های گونه *Ae. speltoeides* مشاهده گردید که بنظر می‌سد یکی از قدیمیترین گونه‌های آزیلوپس بوده و والد احتمالی ژنوم B در گندم‌های زراعی است که تاکنون

جدول ۱۱- شاخص پراکنش کروموزومی، ژنوم و جایگاه گونه‌ها در جدول استبینز

گونه	ژنوم	گرادینت سانترومری	پراکنش کروموزومی	جایگاه در جدول استبینز
<i>Ae. speltoeides</i>	S	۰/۶۸	۰/۲۱	A۱
<i>Ae. tauschii</i>	D	۰/۶۲	۰/۱۲	A۱
<i>Ae. umbellulata</i>	U	۰/۵۱	۰/۱۰	A۱
<i>Ae. cylindrical</i>	CD	۰/۵۵	۰/۰۷	A۱
<i>Ae. crassa</i>	DM	۰/۷۴	۰/۱۰	A۱
<i>Ae. columnaris</i>	UM	۰/۵۷	۰/۰۸	A۱
<i>Ae. neglecta</i>	UM	۰/۵۴	۰/۰۷	A۱
<i>Ae. triuncialis</i>	UC	۰/۴۶	۰/۰۶	A۲

که امکانات اجرایی جهت انجام این مطالعه را فراهم نمودند سپاسگذاری نمایند.

### سپاسگزاری

نگارندگان وظیفه خود می‌دانند از موسسه تحقیقات اصلاح و تهیه نهال و بذر و بانک ژن گیاهی ملی ایران

### REFERENCES

- Aghaei, M.J., J. Mozafari, A.R. Taleei, M.R. Naghavi, M. Omid. (2008). Distribution and diversity of *Aegilops tauschii* in Iran. *Genet Resour Crop Evol*, 55, 341-349.
- Badaeva, E.D., Amosova, A.V., Samatadze, T.E., Zoshchuk, S.A., Shostak, N.G., Chikida N.N., Zelenin A.V., Raupp W.J., Friebe B., Gill B.S. (2004). Genome differentiation in *Aegilops*. 4. Evolution of the U-genome cluster. *Plant Syst. Evol*, 246, 45-76.
- Bagwell, C. B., Baker, D., Whetstone, S., Munson, M., Hitchcox, S., Ault, K. A. & Lovett, E. J. (1989). A simple and rapid method for determining the linearity of a flow cytometer amplification system, *Cytometry*, 10, 689-694.
- Bakhshi B., M.J. Aghaei, M. Bihanta, R., Darvish, F. & Zarifi, E. (2010). Ploidy determination of *Aegilops cylindrical* host accessions of Iran by using flow cytometry and chromosome counting. *Iran. J. Bot*, 16 (2), 258-266.
- Damania, A.B. (1997). *Domestication and insitu conservation of cereal wild Progenitors in the near East*. C/O Genetics Resources Units, ICARDA, Aleppo, Syria.
- Gandhi H.T., Vales M.I., Watson C.J.W., Mallory-Smith C.A., Mori N., Rehman M., Zemetra R.S., Riera-Lizarazu O. (2005). Chloroplast and nuclear microsatellite analysis of *Aegilops cylindrical*. *Theor Appl Genet*, 111, 561-572
- Ghanavati F., Eskandari H. (2011). Relationsheep between coloroplat numbers in stomatal gard cells, Flowcytometry and ploidy level in Onobrychiss species. *Seed and Plant Imrovement Journal*, 27(1), 427-439. (In Farsi)

8. Godelle, B., Cartier, D., Marie, D., Brown, S.C., & Siljak-ya-kovlev, S. (1993). Heterochromatin study demonstrating the non-linearity of fluorometry useful for calculating genomic base composition. *Cytometry*, 14, 618-626.
9. Hatami-Maleki H., Samizadeh., H., Asghari-Zakaria R., Moshtaghi N., Fazeli-Sangari E. (2010). A comparative study of chromosome morphology among some accessions of *Aegilops crassa*. *African Journal of Biotechnology*, 9(7), 996-1000
10. Hosseini, F., Jaffaraghaei, M., Khosroshahli, M., Vaezi., S, Mohammadi, B. (2012). Evaluation of DNA content is accessions of *Aegilops umbellulata* collection. *New Genetics Journal*. Special Issue for 12<sup>th</sup> Iranian Genetic Congerss. (In Farsi).
11. Jaffaraghaei., M., Naghavi., M.R., Omidi, M. (2007). Importace of D genome in adaptability improvement of bread wheat. *Genetics in 3<sup>rd</sup> melinium*. 5(3), 1134-1142. (In Farsi)
12. Karimzadeh G., Ashkani S., Ahmadian-Tehrani P., Davoodi D., Mirzaghaderi G. (2010). Cytogenetical evaluation in some Iranian Wild wheats and *Aegilops* species and OR banding. *Iranian Crop Science Journal*. 41(2), 305-313 (In Farsi)
13. Kimber., G., Feldman., M. (1987). *Wild wheat, an introduction*. College of Agriculture University of Missouri, Columbia. 142 pp.
14. Kimber., G., Zhao., Y.H. (1983). The D genome of the Triticeae. *Can. J. Genet. Cytol.* 25, 581-589.
15. Levan., A., Fredka., K. & Sandberg., A. (1964). Nomeclature for centromic Position on chromosomes. *Hereditas*, 52(2)201-220.
16. Morris, R., Sears, E. R. (1967). The cytogenetics of wheat and its relatives. In: Quisenberry K. S., Reitz L. P. (eds.) *Wheat and wheat improvement*. Am. Soc. Agrom. Monographs, Madison, Wisconsin, pp. 9–87.
17. Mujeeb-Kazi A., Miranda, J.L. (1985). Enhanced resolution of somatic chromosome constriction as an aid to identifying intergeneric hybrids among some Triticeae. *Cytologia*, 50, 701-709.
18. Multani, D.S., Dhaliwal, H.S. Singh, P. & Gill, K.S. (1988). Synthetic amphiploids of wheat as a source of resistance to karnal bunt (*Neovossia indica*). *Plant Breed*, 101,122–125.
19. Naghavi, M.R., Ranjbar, M., Hassani, M.H., Aghaei, M.J. & Bamneshin, M. (2013). Characterization of Iranian Accessions of *Aegilpos crassa* Boiss. Using Flow Cytometry and Protein Analysis. *J. Agr. Sci. Tech*, 15, 4, 811-818
20. Ranjbar M., Naghavi M.R., Zali A.A., Jaffaraghaei M., ZArifi E. (2010). Identification of *Aegilops* cytotypes from Iran and Evaluation their discrimal morphological traits. *Iranian Agricultural Science*, 41(2), 225-234. (In Farsi)
21. Ranjbar, M., Naghavi, M.R. Zali, A. Aghaei M.J. (2007). Multivariate analysis of morphological variation in accessions of *Aegilops crassa* from Iran. *Pakistan J. of Bio. Sci*, 10(7), 1126-1129.
22. Reeves, A. (2001). MicroMeasure: A new computer program for the collection and analysis of cytogenetic data. *Genome*, 44, 439–443
23. Schneider, A., Molnár, I., Molnár-Láng, M. (2008). Utilisation of *Aegilops* (goatgrass) species to widen the genetic diversity of cultivated wheat. *Euphytica*, 163, 1–19
24. Sheidai, M., Ahmadian, P. Poorseyedi, S.h. (1996). Cytogenetical studies in Iran Zira three genera: *Bunium*, *Carum* and *Cuminum*. *Cytologia*, 61, 19-25.
25. Stebbins, G.L. (1971). *Chromosomal evolution in higher plants*. London:Edward Arnold Publisher Ltd, London.
26. Van-Slageren, M.W. (1994). *Wild Wheats; a Monograph of Aegilops L. and Amblyopyrum (Jaub. & Spach) Eig (Poaceae)*. Agricultural University Wageningen: the Netherlands; ICARDA: Aleppo, Syria. pp 512.